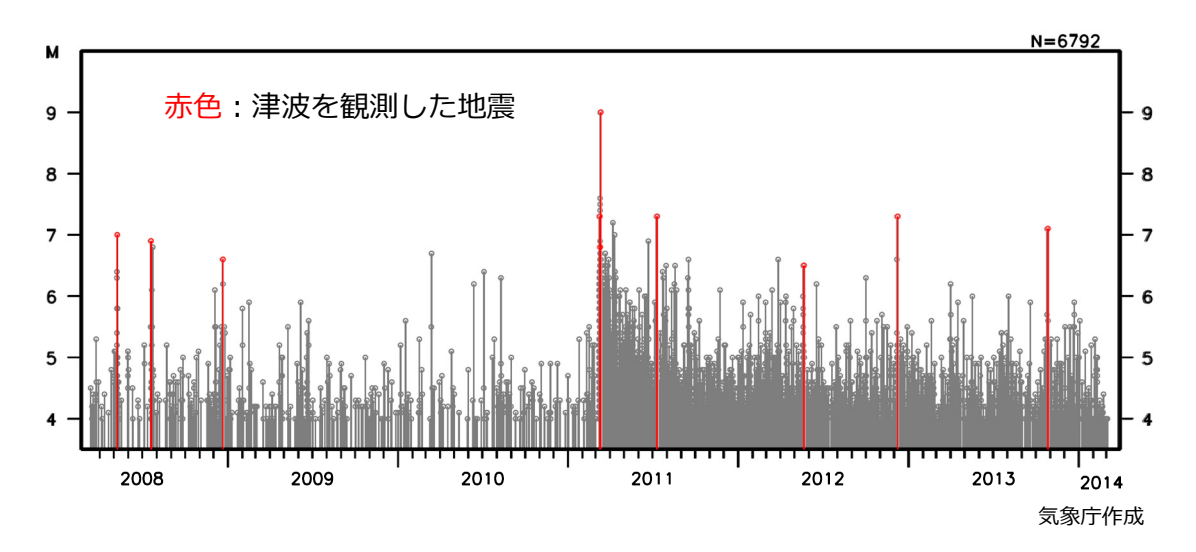
平成26年3月11日地震調査研究推進本部地震調査研究推進本部地震調査委員会

### 「平成23年(2011年) 東北地方太平洋沖地震」以降の地震活動の評価

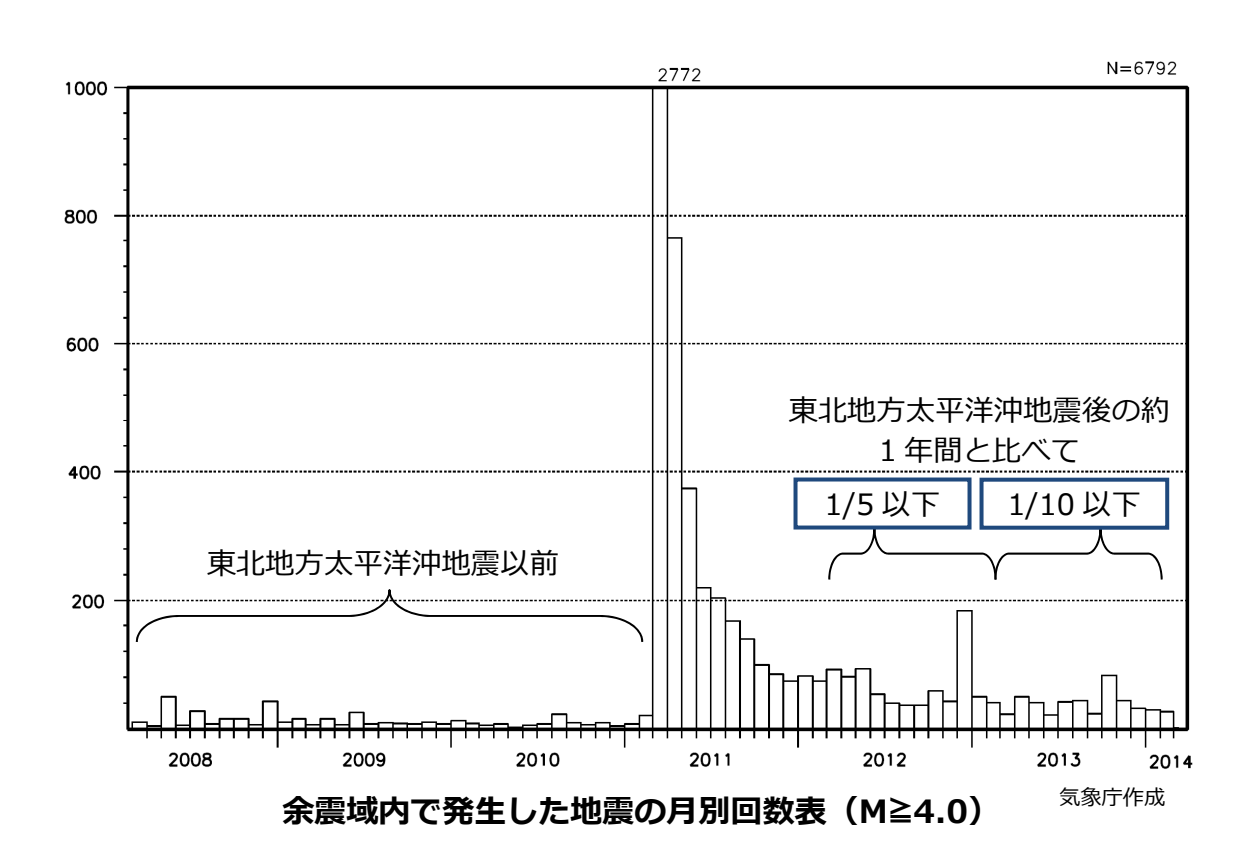
- 「平成23年(2011年)東北地方太平洋沖地震」(以下、東北地方太平洋沖地震、Mw9.0)の余震は、岩手県沖から千葉県東方沖にかけての領域におよぶ広い範囲(以下、余震域)で発生している。 (Mw:モーメントマグニチュード)
- 余震域で発生した M4.0以上の地震の発生数は、東北地方太平洋沖地震後の約1年間と比べて、その後の1年間(2012年3月~2013年2月)では5分の1以下、2年後からの1年間(2013年3月~2014年2月)では10分の1以下にまで減少してきているものの、東北地方太平洋沖地震前の平均的な地震活動状況と比べると3倍以上であり、依然として活発な状況にある。【資料1参照】
- この1年間の余震活動を領域に分けてみると、沖合よりも沿岸部での活動が比較的高い。また、東北地方太平洋沖地震以降、活動が活発となった福島県浜通りから茨城県北部にかけての領域では、徐々に低下しつつあるものの活動は継続している。
- 2004年に発生したスマトラ北部西方沖の地震(Mw9.1)では、3ヵ月後に Mw8.6、約2年半後に Mw8.5、約5年半後に Mw7.5、約7年半後に海溝軸の外側の領域で Mw8.6の地震が発生するなど、震源域およびその周辺で長期にわたり大きな地震が発生している。【資料2参照】
- GNSS 連続観測によると、東北地方から関東・中部地方の広い範囲で余効変動と考えられる地殻変動が引き続き観測されている。地殻変動量は、東北地方太平洋沖地震直後からの約1ヶ月間で、最大で水平方向に30cm、上下方向に6cmの沈降と5cmの隆起であったものから、最近1ヶ月あたりでは水平方向に最大1cm程度、上下方向には1cm前後と小さくなっている。【資料3参照】
- 以上のことから、余震活動は全体として徐々に低下している傾向にあると見てとれるものの、依然として東北地方太平洋沖地震前の地震活動より活発な状況にあることや、他の巨大地震における事例から総合的に判断すると、今後も長期間にわたって余震域やその周辺で規模の大きな地震が発生し、強い揺れや高い津波に見舞われる可能性があるので、引き続き注意が必要である。
- なお、東北地方太平洋沖地震以降、東北地方から関東・中部地方にかけての 余震域以外で活発化した地震活動は、全体として低下している。

資料1:東北地方太平洋沖地震の余震域における地震活動経過(2008年~2014年)



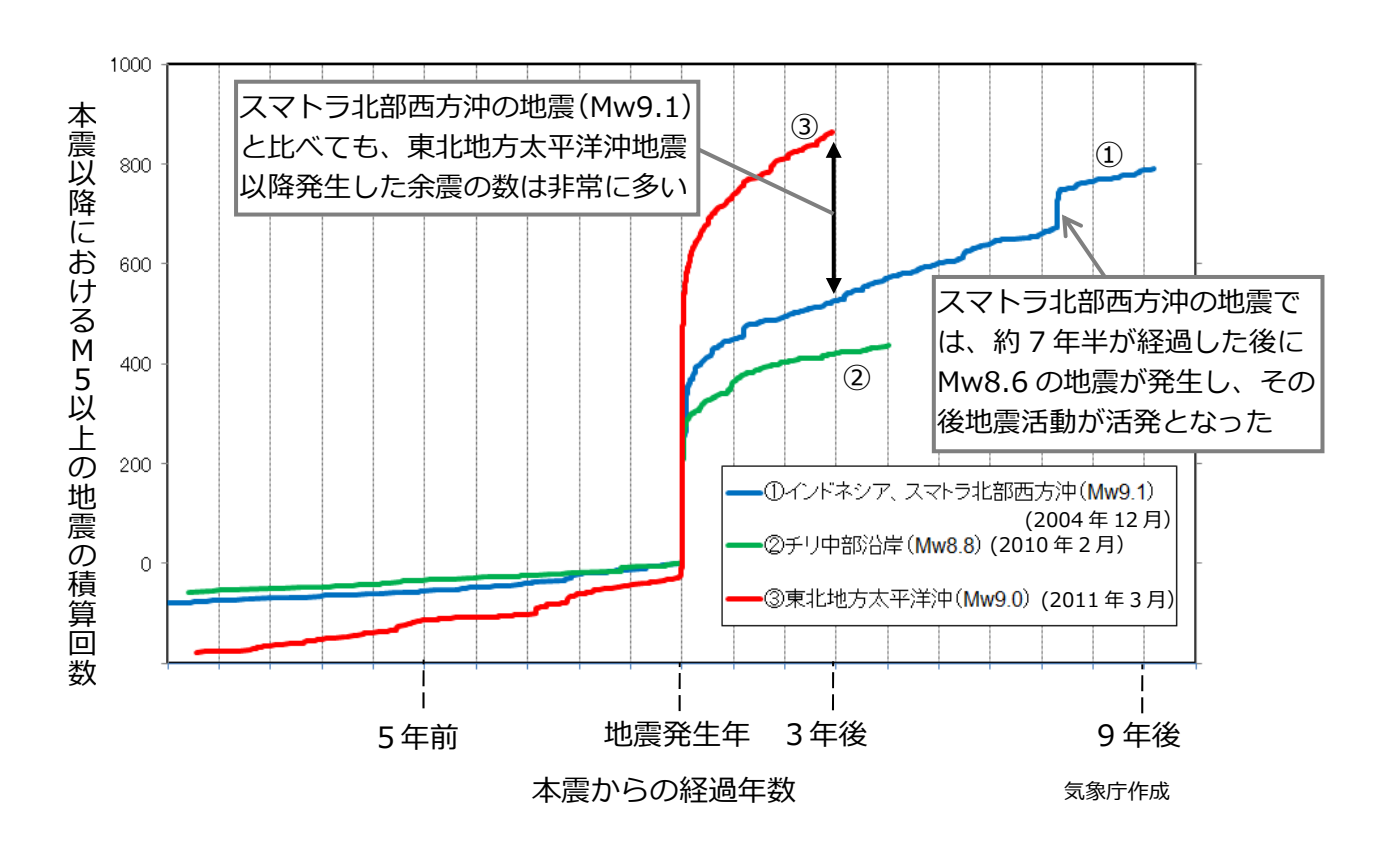
**余震域内で発生したマグニチュード(M) 4 以上の地震のM – T 図** (縦軸にM、横軸に時間(T)として表示した図)

○余震活動は徐々に低下してきているが、M 7 前後の大きな地震や、 津波を観測した地震は時折発生している。



○東北地方太平洋沖地震後の約1年間と比べて、その後の1年間では5分の1以下、2年後からの1年間では10分の1以下にまで減少してきているものの、東北地方太平洋沖地震前の地震活動状況と比べて依然として活発な状況にある。

### 資料2:世界の海域で発生した主な地震との余震活動の比較



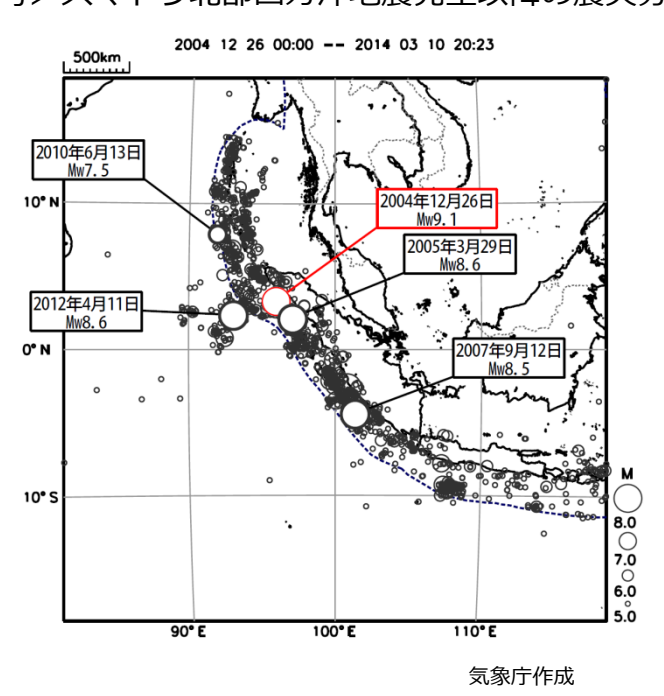
### 世界の海域で発生した主な地震における、本震発生前後の M≥5.0 の余震回数比較

掲載期間: ①~③の本震発生の10年前から2014年3月5日まで

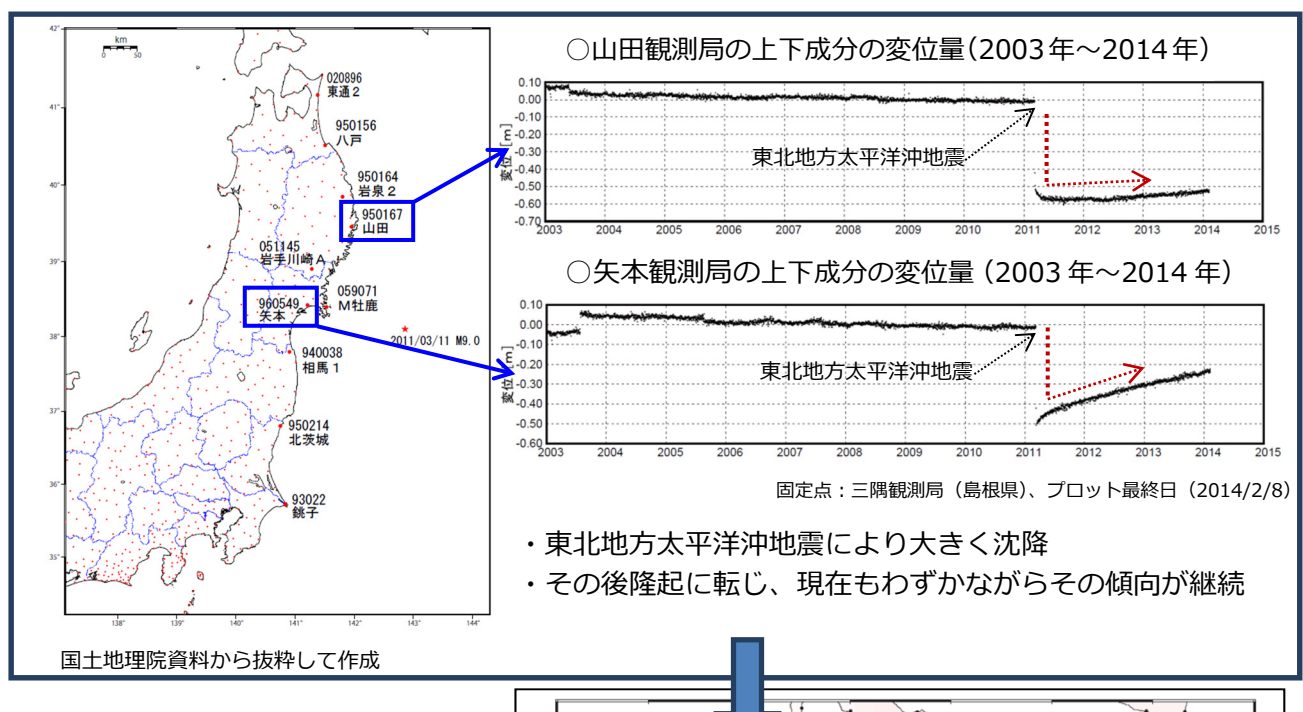
震源要素:米国地質調査所(USGS)による

(※図の詳細については、個別資料(8)を参照)

### <参考>スマトラ北部西方沖地震発生以降の震央分布図



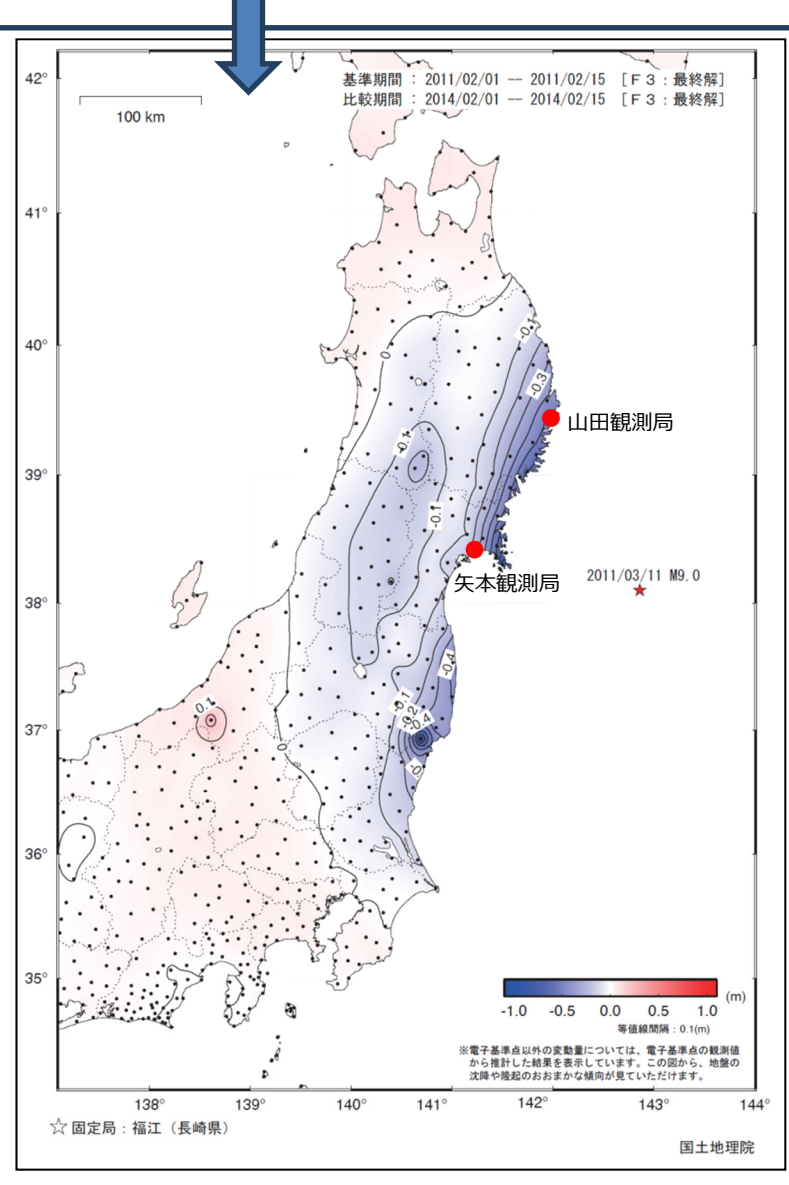
### 資料3:東北地方太平洋沖地震から3年間の地殻変動



東北地方太平洋沖地震により、東 北地方の太平洋沿岸では大きな沈降 が観測された。

その後は隆起に転じ、現在もわず かながら継続している。

右図は、東北地方太平洋沖地震から3年が経過し、各地点が東北地方太平洋沖地震前よりもどのくらい沈降(または隆起)しているかを示している。



### 「平成23年(2011年)東北地方太平洋沖地震」について ~3年間の地震活動~

「平成23年(2011年)東北地方太平洋沖地震」(以下、東北地方太平洋沖地震という)の余震は、岩手県から千葉県北東部にかけての沿岸及びその沖合の広い範囲で発生している。余震域で発生したM5.0以上の地震は、本震発生後の1年間では650回を超え、その後の1年間では84回、発生2年後から1年間では56回となっている。余震活動は時間の経過と共に低下してきているが、この1年間の変化は以前に比べゆるやかになってきている。また、東北地方太平洋沖地震発生以前の2001年から2010年の地震の年平均回数(19回)に比べると、この1年間は約3倍であり依然活発な状態である。

余震活動を領域に分けてみると、沖合より沿岸部での活動が比較的高い。また、海溝軸付近では、2013年10月26日の福島県沖の地震(M7.1)のように、規模が大きく津波を伴う地震が発生している。

### (1) 余震活動の状況

東北地方太平洋沖地震の余震域(図 1-1 の領域 a 内)では、2013 年 3 月 11 日 14 時 46 分の本震発生から 1 年の間に M4.0 以上の地震が 5,000 回以上、震度 1 以上を観測する地震が 8,000 回近く発生したが、本震発生の 1 年後から 2 年後までの 1 年間には M4.0 以上の地震が 780 回程度、震度 1 以上を観測する地震が 1,600 回程度と減少し、本震発生の 2 年後から 3 年後までの 1 年間には M4.0 以上の地震が 460 回程度、震度 1 以上を観測する地震が 1,000 回程度と着実に減ってきている(図 1-1、図 1-2、表 1-1)。

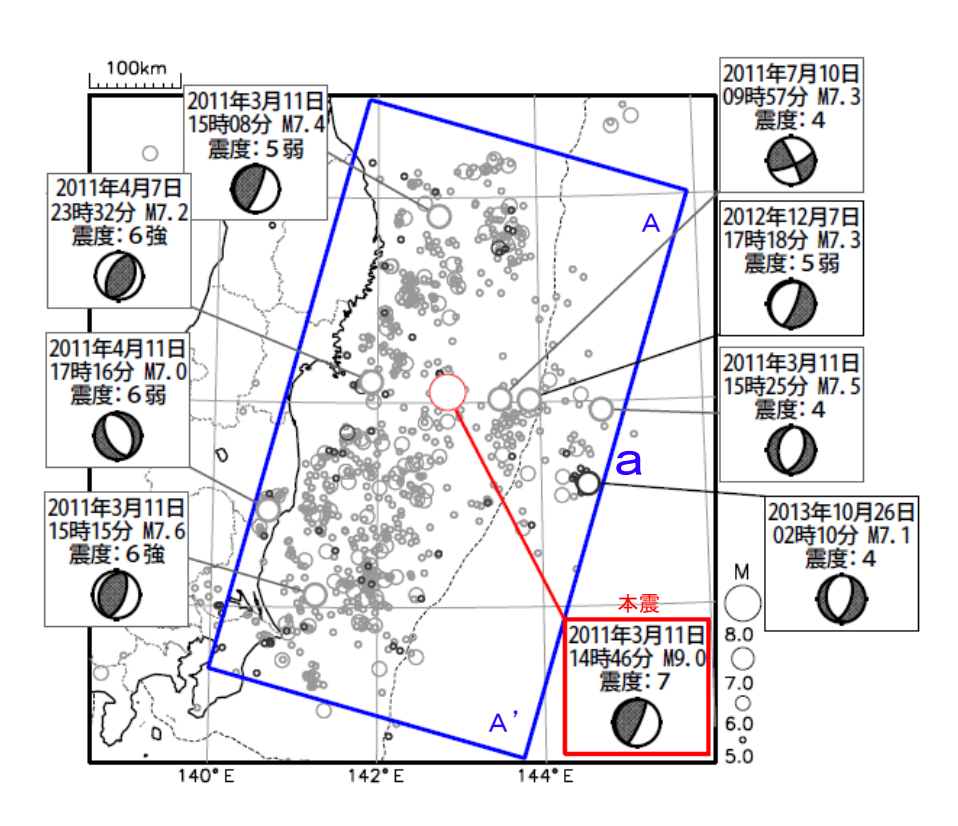


図 1 − 1 震央分布図 (2011 年 3 月 11 日 14 時 46 分~2014 年 3 月 5 日 24 時 00 分、深さすべて、M≥5.0) 本震の発生から 2 年後以降に発生した地震を濃く表示している。M7.0 以上の地震に吹き出しをつけた。発震機構は CMT解。

領域 a: 東北地方太平洋沖地震の余震域

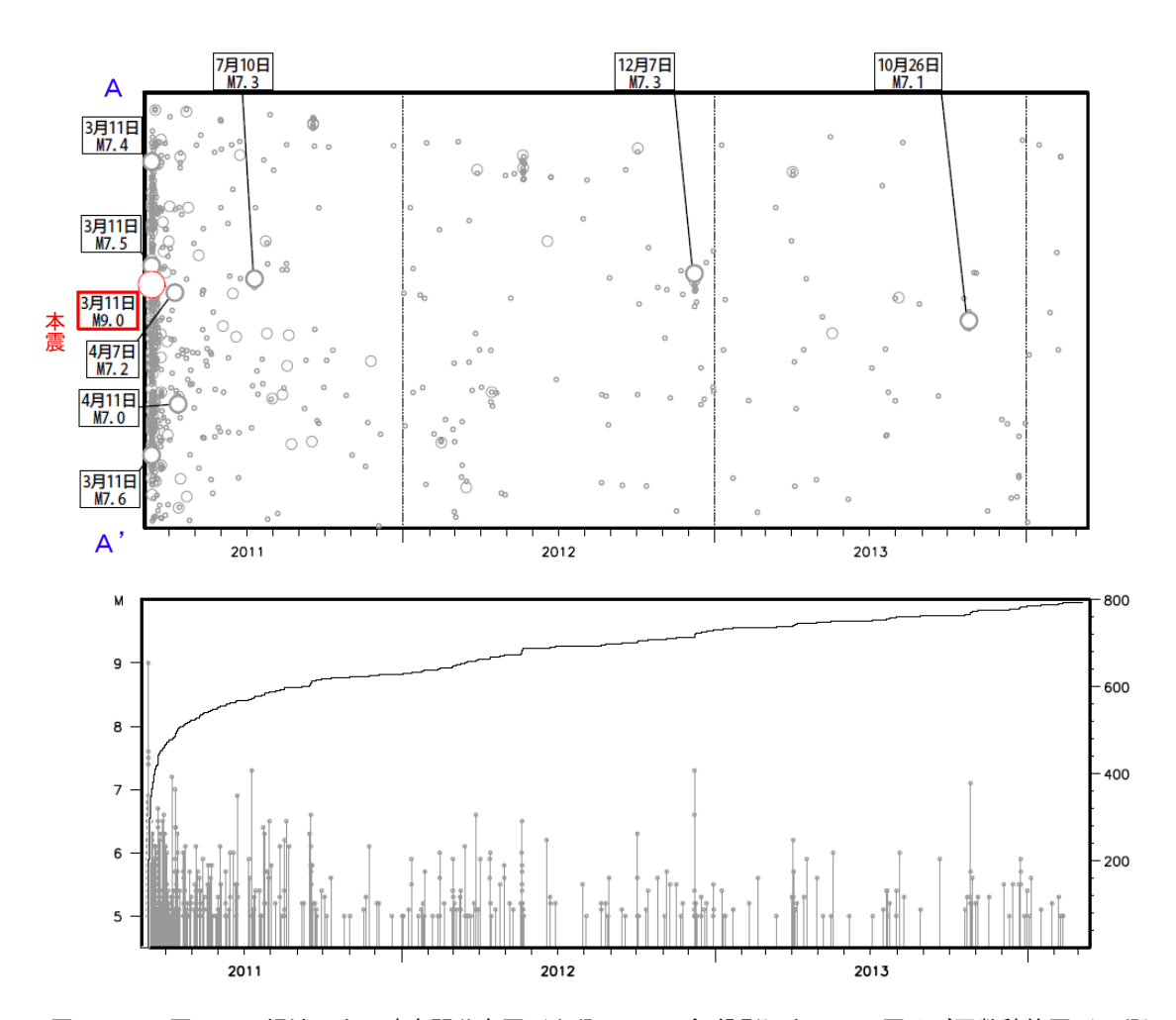


図 1-2 図 1-1 領域 a 内の時空間分布図(上段、A-A'投影)とM-T 図及び回数積算図(下段)本震の発生から 2 年後以降に発生した地震を濃く表示している。時空間分布図では、M7.0 以上の地震に吹き出しをつけた。

表 1-1 図 1-1 領域 a 内の地震回数 (本震を含む 2011 年 3 月 11 日 14 時 46 分~2014 年 3 月 5 日 24 時 00 分) 2012 年 3 月 と 2013 年 3 月は上段が 11 日 14 時 45 分まで、下段が 14 時 46 分以降。合計の行の期間①は本震発生から 1 年間、期間②は本震発生の 1 年後から 2 年後まで、期間③はそれ以降の合計。2011 年 3 月と 2014 年 3 月はひと月すべてでないことに注意。

		M4.0	M5.0	M6.0	M7.0	M4.0	M5.0				睛	是大震原	度				計
		M4.9	M5.9	M6.9	以上	以上	以上	1	2	3	4	5弱	5強	6弱	6強	7	П
	3月	2,231	395	68	4	2,698	467	1,655	838	333	91	17	6		1	1	2,942
	4月	709	46	8	2	765	56	898	449	166	41	8		2	1		1,565
	5月	345	28	1		374	29	418	191	61	14	2					686
ш	6月	203	13	4		220	17	305	123	39	7	2					476
2011年	7月	184	15	3	1	203	19	287	120	26	7	1	2				443
20	8月	156	7	4		167	11	269	101	25	9	2					406
	9月	120	15	3		138	18	190	78	28	6	1	1				304
	10月	95	4			99	4	187	59	17	2						265
	11月	81	3	1		85	4	132	52	16	1		1				202
	12月	71	3			74	3	126	61	20	2	-					209
	1月 2月	71	10	4		81	10	152	65	21	5	1					244
	2月	65	8	1		74	9	113 42	49 22	14 6	5	2					182
	3月	31 46	7	2		92	15	118	35	11	2	1	1				240
	4月	71	9	1		81	10	100	61	13	6	2	- 1				182
ш	5月	77	14	2		93	16	110	45	11	1						167
2012年	6月	50	3	1		54	4	79	52	11	3						145
201	7月	39	1			40	1	72	35	7	2						116
	8月	31	6			37	6	76	40	10	2		1				129
	9月	35	2			37	2	70	30	7	1		_				108
	10月	52	6	1		59	7	92	38	15	4	1					150
	11月	37	6			43	6	66	26	7	5						104
	12月	166	15	1	1	183	17	60	26	13	5	1					105
	1月	46	4	·		50	4	53	28	7	3	2					93
	2月	39	2			41	2	61	18	11	2						92
		4						15	7	2							
	3月	17	2			23	2	25	11	6	2						68
	4月	41	8	1		50	9	63	19	5	3	1					91
#	5月	38	2	1		41	3	57	33	8	1		1				100
2013年	6月	21	1			22	1	44	26	4	1						75
50	7月	34	8			42	8	65	23	13	3						104
	8月	41	2	1		44	3	59	34	9			1				103
	9月	23	1			24	1	48	22	5	3		1				79
	10月	74	8		1	83	9	45	27	8	5						85
	11月	41	3			44	3	57	22	11	2						92
	12月	23	9			32	9	42	23	8	3	1					77
卅	1月	26	4			30	4	42	31	6	1						80
2014年	2月	23	4			27	4	39	27	3	3						72
2(	3月	2				2	0	9	3								12
	1	4,362	553	93	7	5,015	653	4,774	2,208	772	190	37	10	2	2	1	7,996
合	2	693	75	8	1	777	84	972	441	125	36	7	2	0	0	0	1,583
計	3	404	52	3	1	460	56	595	301	86	27	2	3	0	0	0	1,014
	計	5,459	680	104	9	6,252	793	6,341	2,950	983	253	46	15	2	2	1	10,593

※ 2011 年 3 月 13 日~5月 30 日 (表中の網掛けの期間) は未処理のデータがある。

### (2) 東北地方太平洋沖地震発生の2年後から1年間の余震域内の主な地震活動

東北地方太平洋沖地震発生の2年後から1年間(2013年3月11日~2014年3月5日)に、余震域(図1-1の領域 a)内で発生したM6.0以上の地震または最大震度5強以上を観測した地震を図2-1に示す。これらの地震の概要は次の通り。

### ①2013年4月2日 三陸沖の地震(M6.2、最大震度3)(図2-2)

発震機構 (CMT 解) は西北西-東南東方向に圧力軸を持つ逆断層型で、太平洋プレートと陸のプレートの境界で発生した地震である。この地震の震央付近では2012 年 5 月 20 日に M6.5 の地震(最大震度3)が発生し、津波を観測している。

- ②2013年5月18日 福島県沖の地震(M6.0、最大震度5強)(図2-3)
  - 発震機構 (CMT 解) は西北西 東南東方向に圧力軸を持つ逆断層型で、太平洋プレートと陸のプレートの境界で発生した地震である。
- ③2013 年8月4日 宮城県沖の地震(M6.0、最大震度5強)(図2-4) 太平洋プレートの内部で発生し、発震機構(CMT解)は東西方向に圧力軸を持つ逆断層型である。 この地震の震源付近では、2011 年4月7日に M7.2 の地震(最大震度6強)が発生している。
- ④2013 年9月20日 福島県浜通りの地震(M5.9、最大震度5強)(図2-5) 地殻内で発生し、発震機構は北西-南東方向に圧力軸を持つ横ずれ断層型である。この領域では主 に正断層型の地震が発生しているが、比較的深いところでは逆断層型や横ずれ断層型の地震も発生 している。
- ⑤2013 年 10 月 26 日 福島県沖の地震 (M7.1、最大震度 4) (図 2 6、図 2 7、表 2 1) 発震機構 (CMT 解) は東西方向に張力軸を持つ正断層型で、日本海溝の東側の太平洋プレート内部で発生した地震である。この地震により岩手県から福島県にかけての沿岸で津波を観測している。

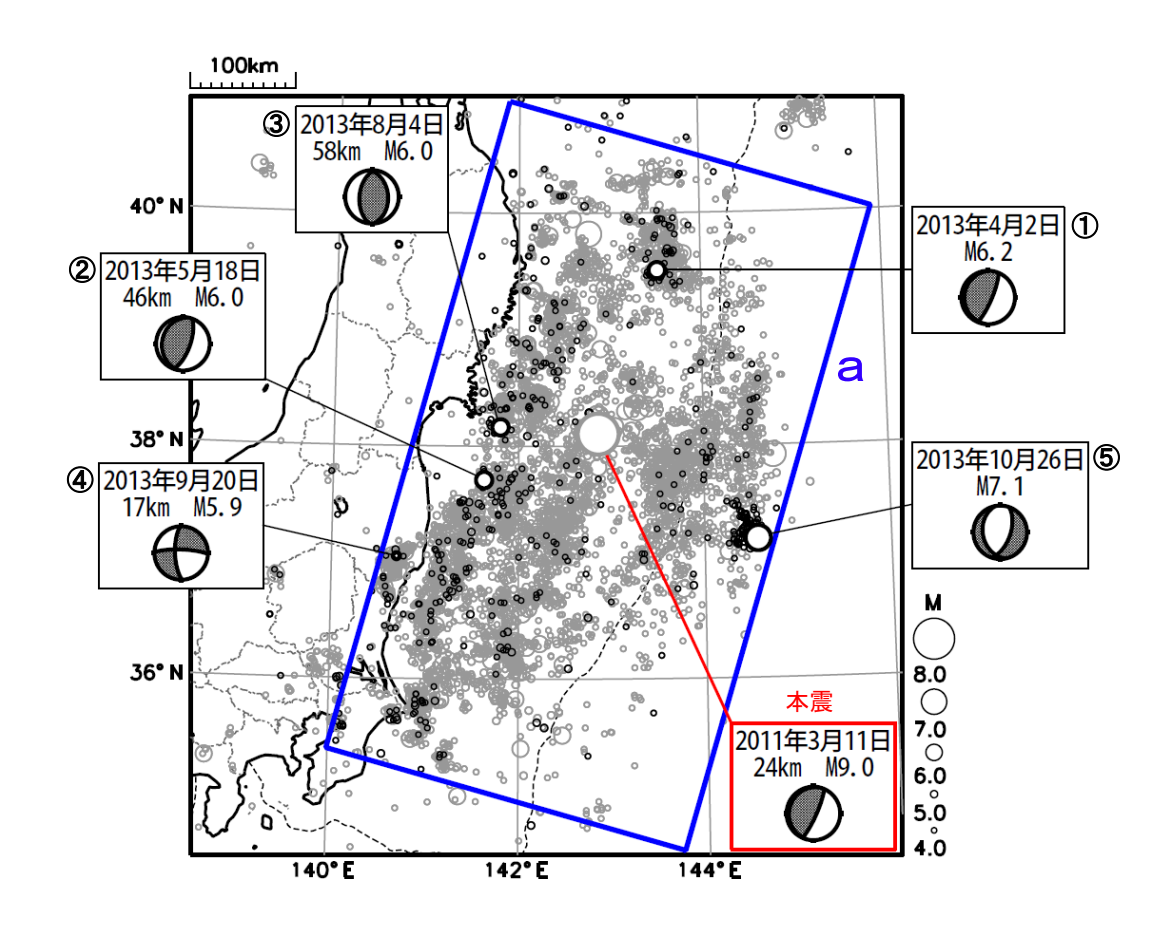
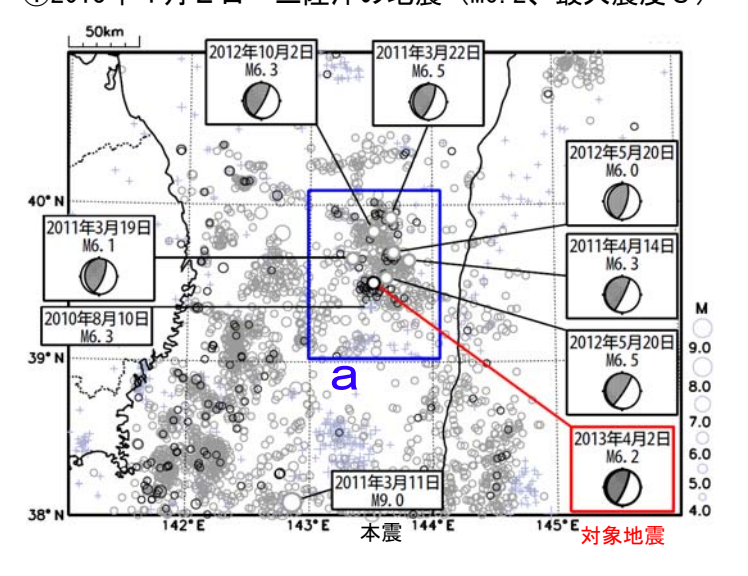


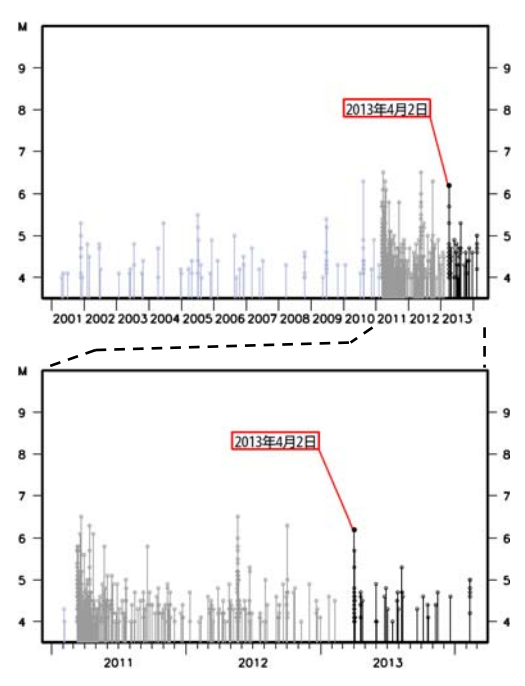
図2-1 震央分布図 日1日~2014年3日5日 深さすべて M>4

(2011年3月1日~2014年3月5日、深さすべて、M≥4.0)

東北地方太平洋沖地震発生の2年後から1年間 (2013年3月11日~2014年3月5日) に発生した地震を濃く表示している。領域 a 内で上記の期間で M6.0 以上または最大震度5強以上を観測した地震と東北地方太平洋沖地震に吹き出しをつけた。発震機構は CMT 解。領域 a の範囲は図1-1に同じ。①~⑤の数字は本文中の地震の番号に対応。

### ①2013年4月2日 三陸沖の地震(M6.2、最大震度3)



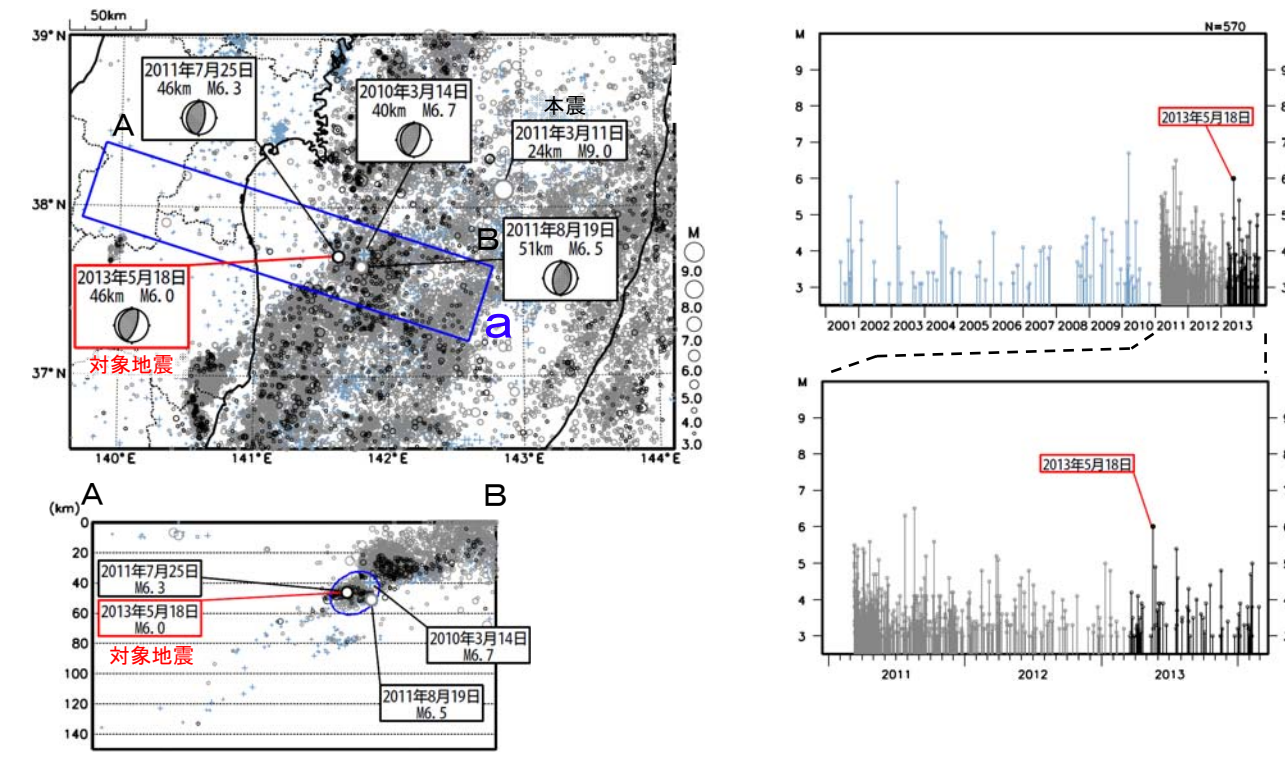


### 図2-2

- (左上) 震央分布図 (2001年1月1日~2014年3月5日、深さ0~100km、M≥4.0)、
- (右上) 領域 a 内のM-T図 (2001年1月1日~2014年3月5日)、
- (右下) 領域a内のM-T図 (2011年1月1日~2014年3月5日)

東北地方太平洋沖地震より前に発生した地震を+、東北地方太平洋沖地震から2年以内に発生した地震を薄い〇、2年後以降に発生した地震を濃い〇で表示している。発震機構はCMT解。2011年3月13日~2011年5月30日は未処理のデータがある。

### ②2013年5月18日 福島県沖の地震(M6.0、最大震度5強)

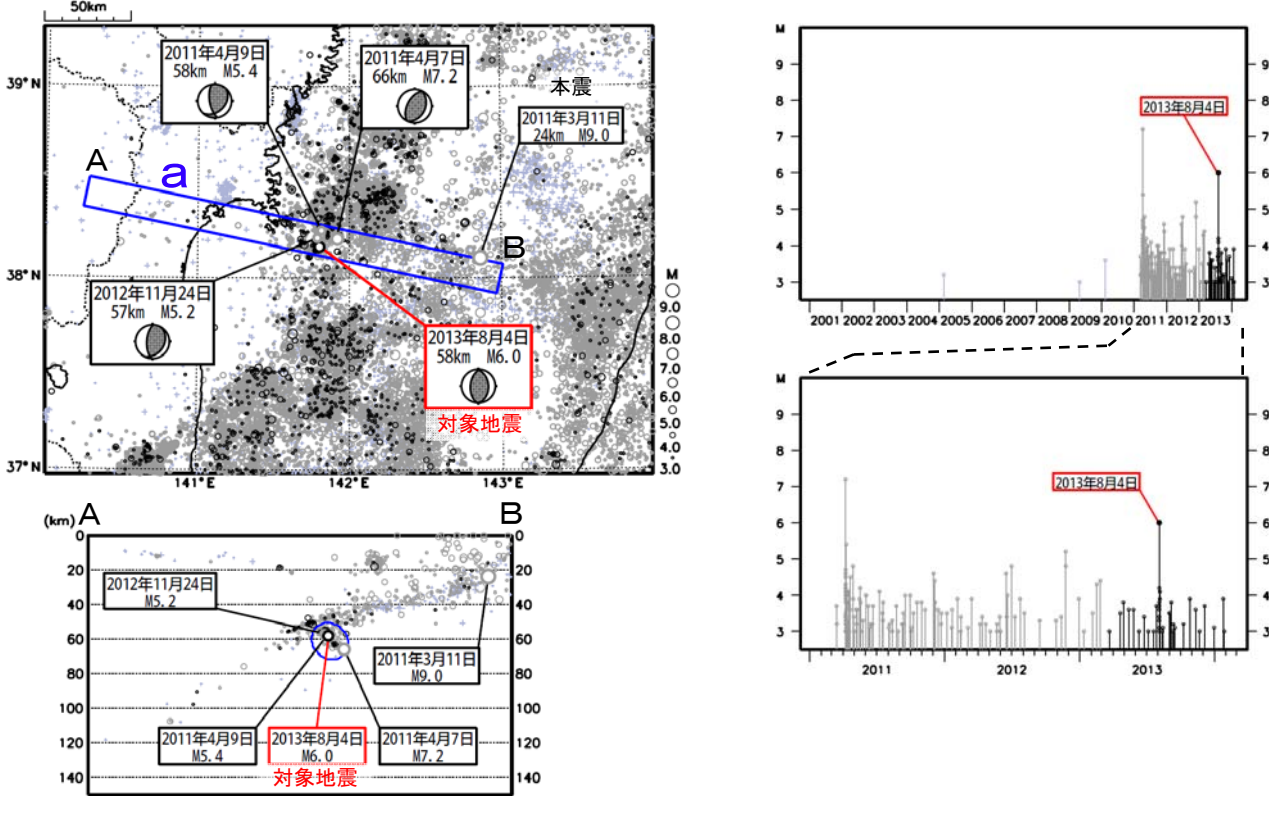


### 図2-3

- (左上) 震央分布図 (2001年1月1日~2014年3月5日、深さ0~150km、M≥3.0)、
- (左下) 領域 a 内の断面図 (A B断面)、
- (右上) 領域 b 内のM-T図 (2001年1月1日~2014年3月5日)、
- (右下) 領域 b 内のM-T図 (2011年1月1日~2014年3月5日)

東北地方太平洋沖地震より前に発生した地震を+、東北地方太平洋沖地震から2年以内に発生した地震を薄い〇、2年後以降に発生した地震を濃い〇で表示している。発震機構はCMT解。2011年3月13日~2011年5月30日は未処理のデータがある。

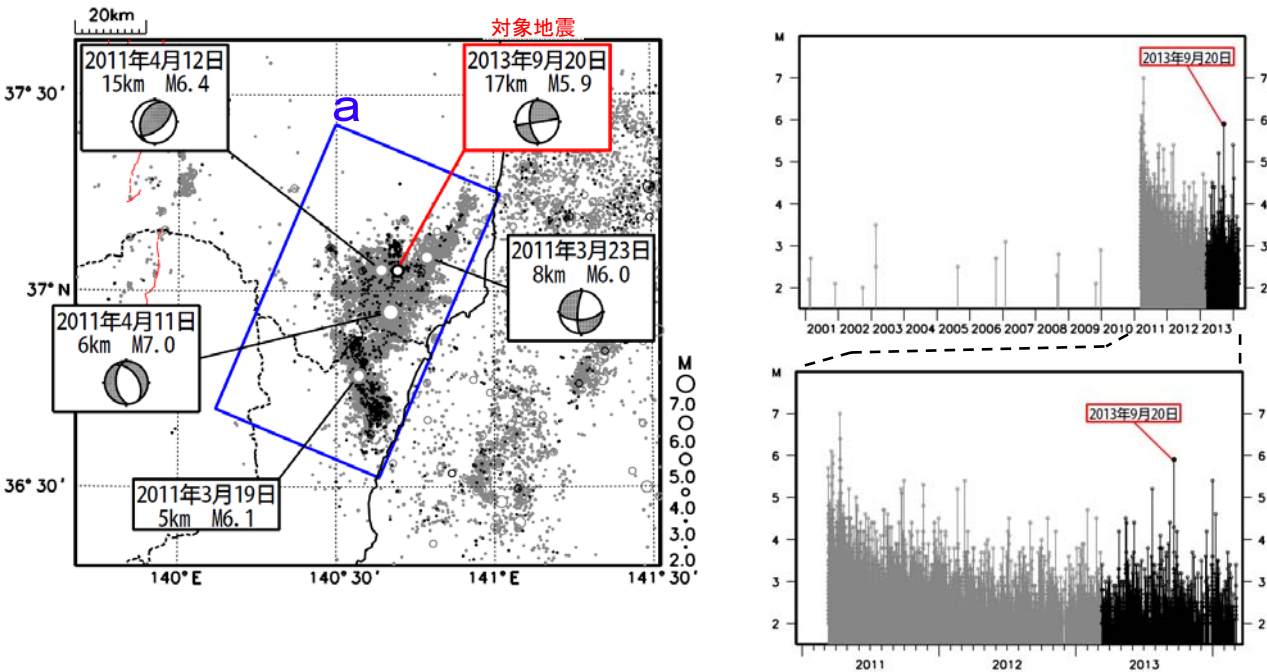
### ③2013年8月4日 宮城県沖の地震(M6.0、最大震度5強)



- 図2-4
  - (左上) 震央分布図 (2001年1月1日~2014年3月5日、深さ0~150km、M≥3.0)、
  - (左下) 領域 a 内の断面図 (A B 断面)、
  - (右上) 領域 b 内のM-T図 (2001年1月1日~2014年3月5日)、
  - (右下) 領域 b内のM-T図 (2011年1月1日~2014年3月5日)

東北地方太平洋沖地震より前に発生した地震を十、東北地方太平洋沖地震から2年以内に発生した地震を薄い〇、2年後以降に発生した地震を濃い〇で表示している。発震機構は CMT 解。2011年3月13日~2011年5月30日は未処理のデータがある。

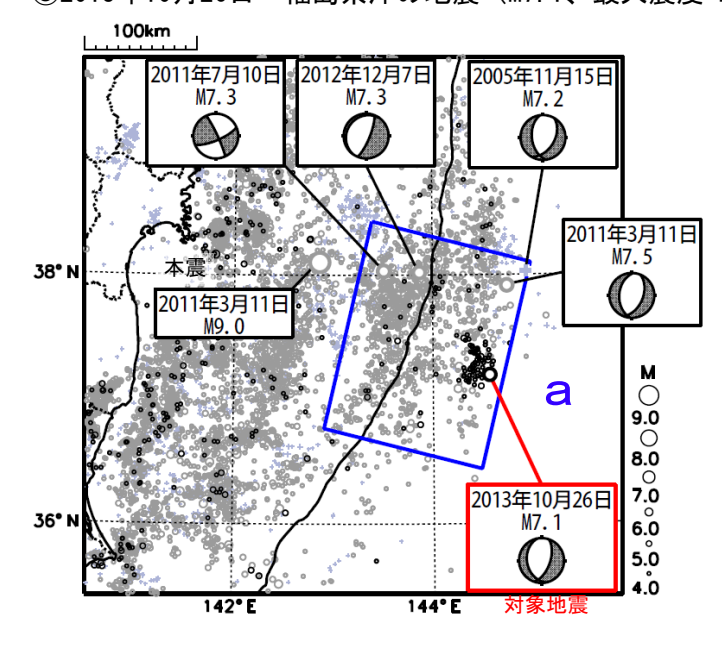
### ④2013年9月20日 福島県浜通りの地震(M5.9、最大震度5強)

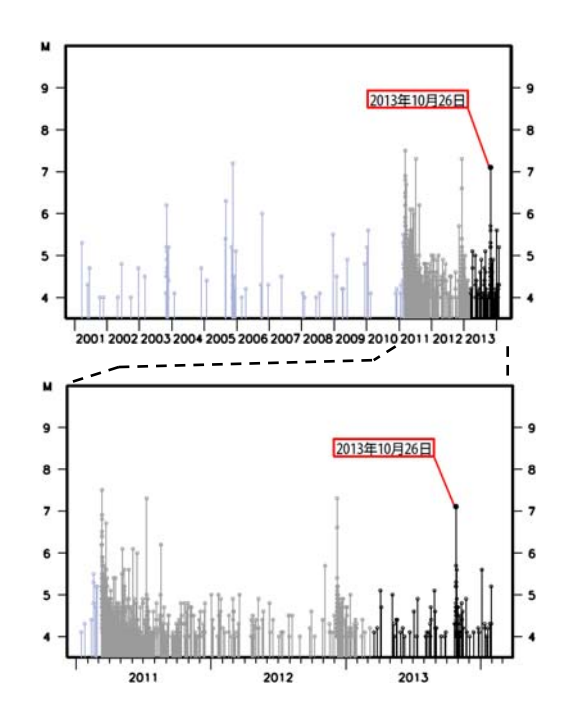


- 図2-5
  - (左上) 震央分布図 (2001年1月1日~2014年3月5日、深さ0~30km、M≥2.0)、
  - (右上) 領域 a 内のM-T図 (2001年1月1日~2014年3月5日)、
  - (右下) 領域 a 内のM-T図 (2011年1月1日~2014年3月5日)

東北地方太平洋沖地震から2年後以降に発生した地震を濃く表示している。2011年3月13日~2011年5月30日は未処理のデータがある。

### (5)2013年10月26日 福島県沖の地震(M7.1、最大震度4)





### 図2-6

- (左上) 震央分布図 (2001年1月1日~2014年3月5日、深さ0~100km、M≥4.0)、
- (右上) 領域a内のM-T図 (2001年1月1日~2014年3月5日)、
- (右下) 領域 a 内のM-T図(2011年1月1日~2014年3月5日)

東北地方太平洋沖地震より前に発生した地震を+、東北地方太平洋沖地震から2年以内に発生した地震を薄い〇、2年後以降に発生した地震を濃い〇で表示している。発震機構はCMT解。2011年3月13日~2011年5月30日は未処理のデータがある。

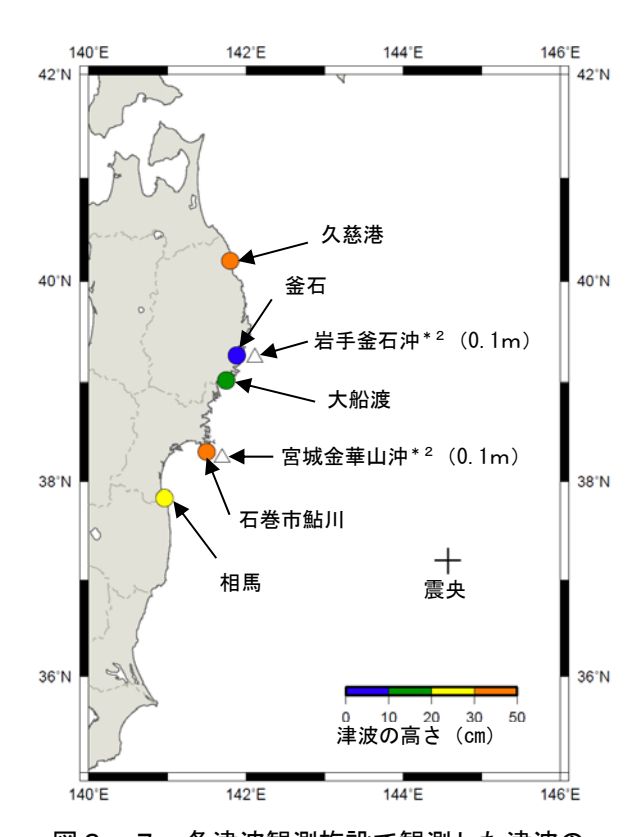


表 2 - 1 各津波観測施設の津波観測値 (2013 年 10 月 26 日)

		第-	一波	最力	大波
津波観測点名	所属	到達時刻	高さ * 1 (cm)	発現時刻	高さ (cm)
久慈港	国土交通省港湾局	03:07	-12	03:23	30
釜石	海上保安庁	02:56	-12	03:02	9
大船渡	気象庁	02:56	-11	03:13	16
石巻市鮎川	気象庁	03:01	-25	03:07	36
相馬	国土地理院	03:29	-28	03:38	27
岩手釜石沖 *2	国土交通省港湾局	02:45	-微弱	02:49	0.1m
宮城金華山沖 *2	国土交通省港湾局	02:48	−0.1m	02:52	0.1m

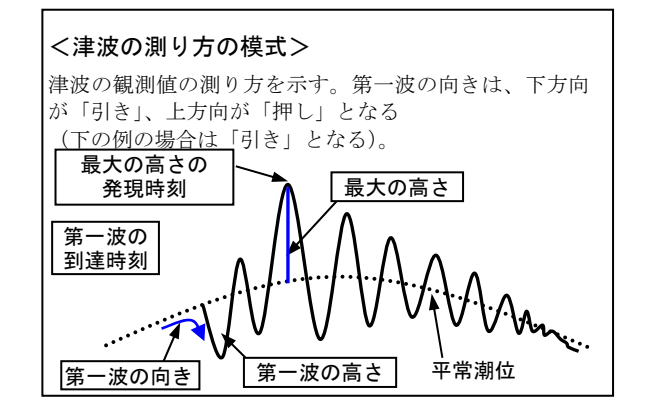


図2-7 各津波観測施設で観測した津波の 最大の高さ (津波を観測した地点のみ表示)

- ※本資料では、津波情報で発表する観測点名称を用いている。
- ※値は後日変更される場合がある。
- \* 1高さの+は押し、-は引き。
- \*2GPS波浪計の観測点である(観測単位は0.1m)。

### (3) 余震域内で発生した地震のうち震度1以上を観測した地震の推移

東北地方太平洋沖地震発生前後3年間に震度1以上を観測した地震の震央分布図を図3-1に示す。また、余震域(図1-1の領域a)内で発生した地震のうち震度1以上を観測した地震のM-T図を図3-2に、月別回数を図3-3に示す。

東北地方太平洋沖地震の余震活動は、時間の経過と共に低下してきているが、この1年間の変化はゆるやかとなってきた。現在は震度1以上を観測する地震を1ヶ月間に80回程度観測している。この数は東北地方太平洋沖地震発生前と比べると約4倍であり、依然活発な状態である。

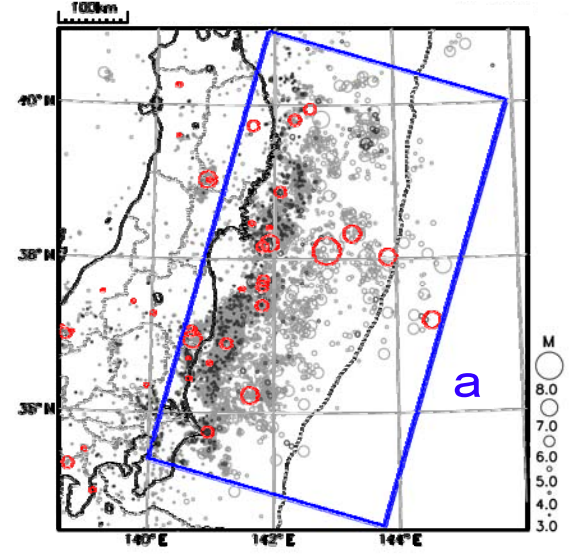
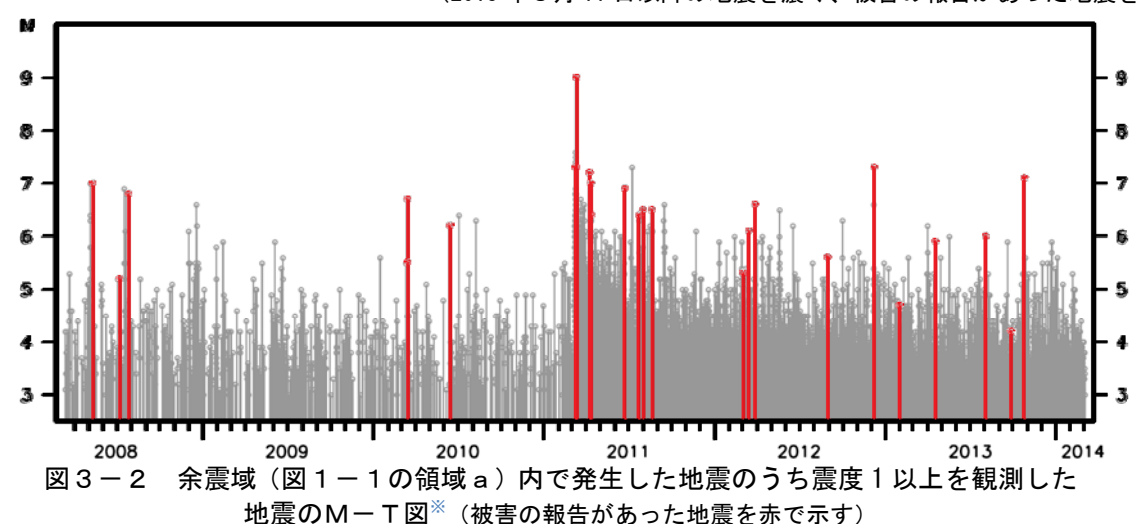


図3-1 震度1以上を観測した地震の震央分布図\* (2008年3月11日~2014年3月5日)

(2013年3月11日以降の地震を濃く、被害の報告があった地震を赤く表示)



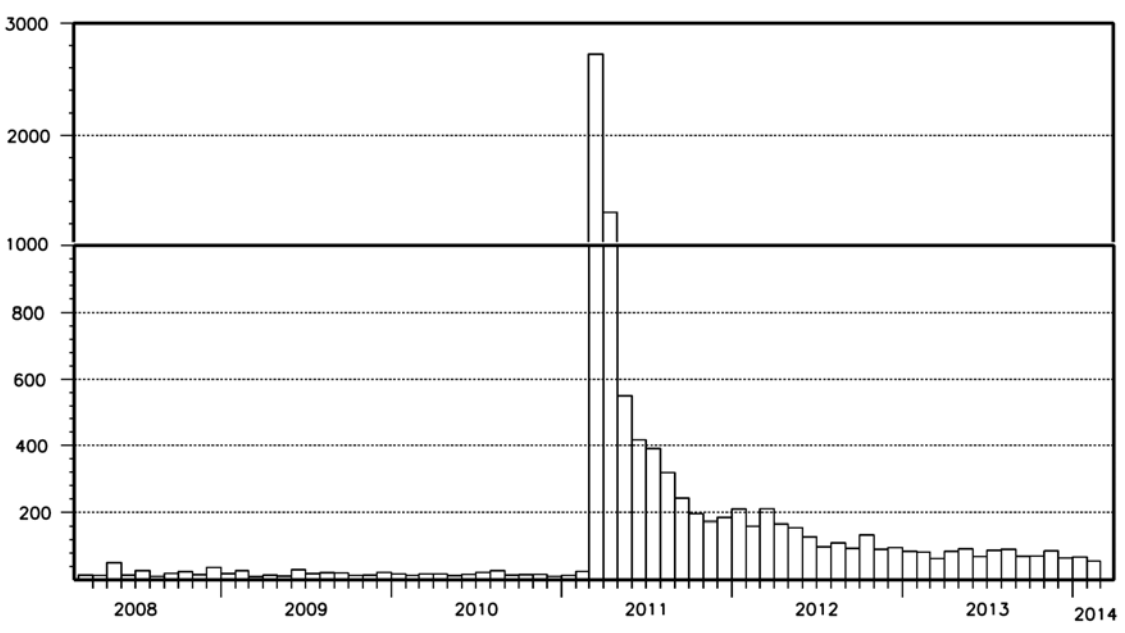


図3-3 余震域(図1-1の領域a)内で発生した地震のうち震度1以上を観測した 地震の月別回数\*(1000回以上と以下ではスケールが異なる)

※ 2011年3月13日~5月30日に未処理のデータがある。

### (4) 領域別に分けた余震活動推移

余震域(図1-1の領域 a)を短冊状(図4-1の領域 b~e)に分けて活動の推移をみた。余震は岩手県から千葉県北東部にかけての沿岸及びその東方沖の広い範囲で発生していたが、時間経過と共に低下してきている。しかし、その推移は領域毎に特徴があり一様ではない。陸域の領域 b については、福島県浜通りの地震活動を除くと、東北地方太平洋沖地震前後で活動に大きな変化が見られない。沿岸域の領域 c では、低下しつつも現在も活発な余震活動が見られる。領域 d では、積算の傾きも緩くなり活動は低下してきた。領域 e では、余震活動は低下してきたが、2012 年や 2013 年にM 7 クラスの地震

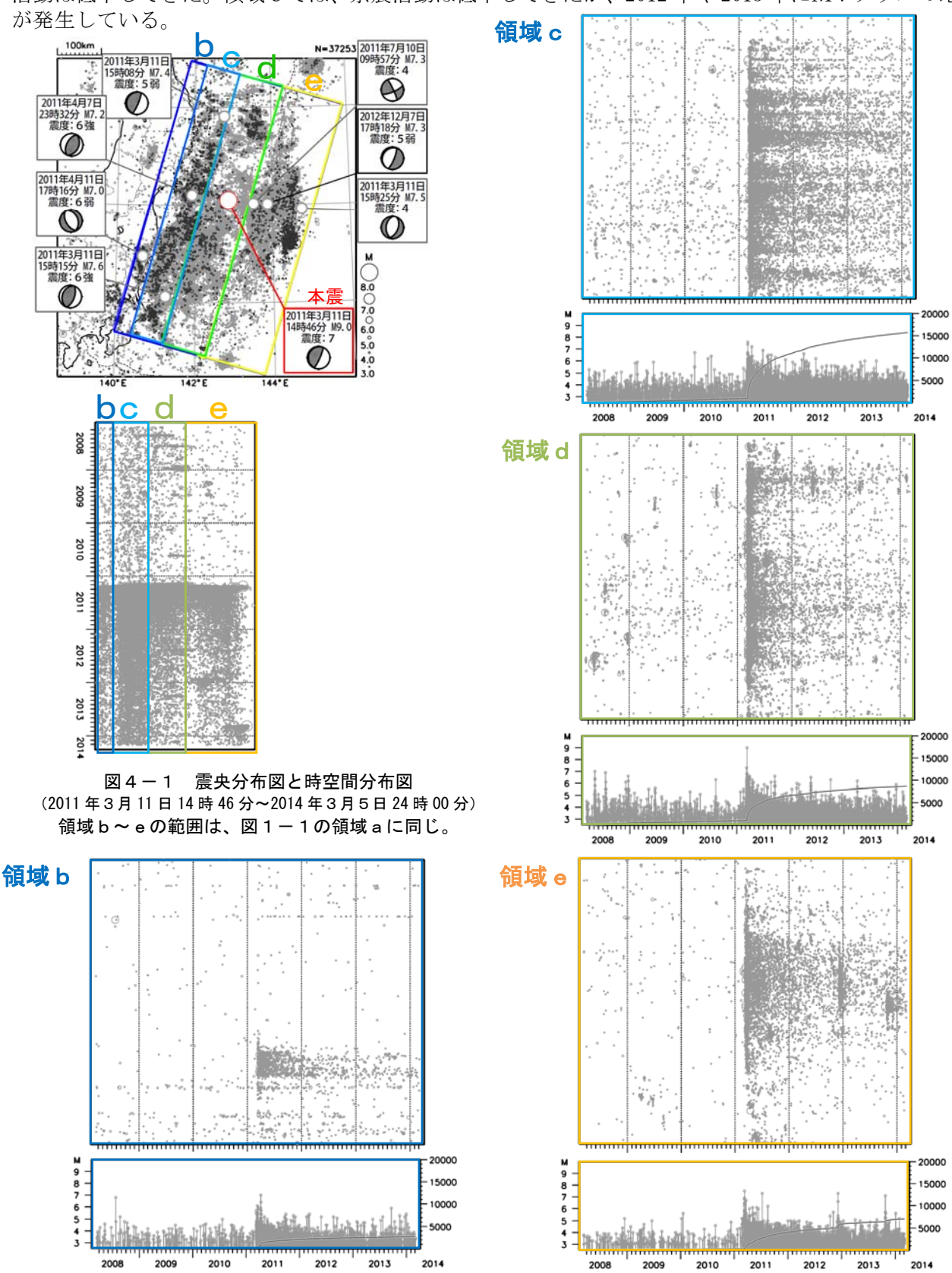
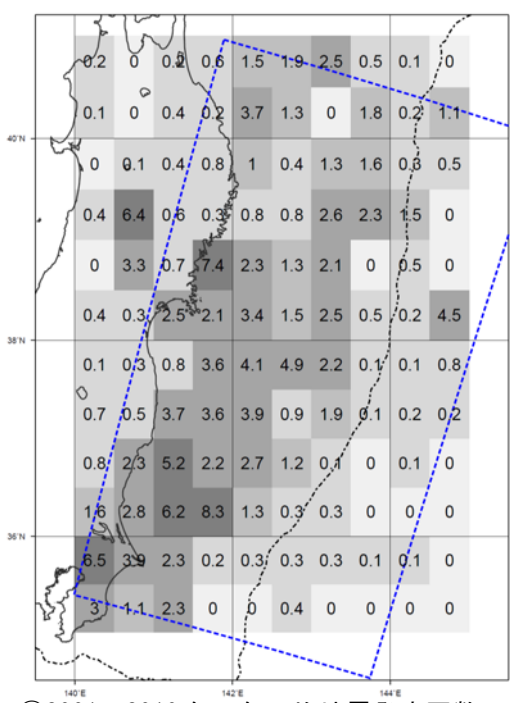


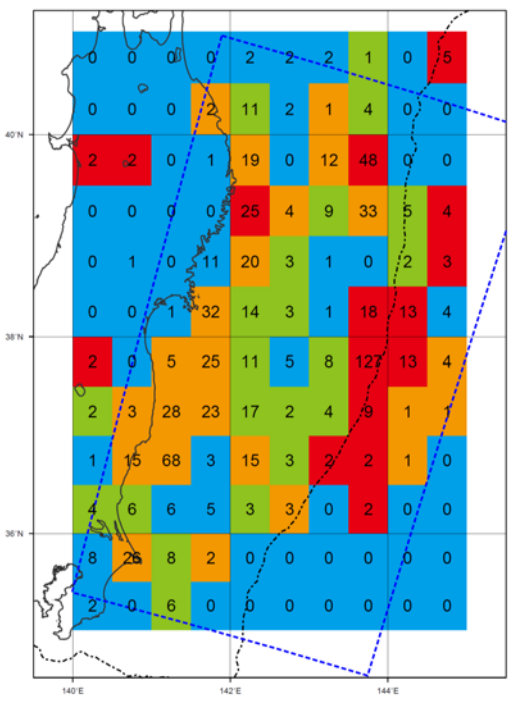
図4-2 各領域(図4-1の領域 b~e)の時空間分布図とM-T図及び回数積算図 (左下:領域 b 右上:領域 c 右中 :領域 d 右下:領域 e)

### (5) 1年毎の余震発生回数の推移

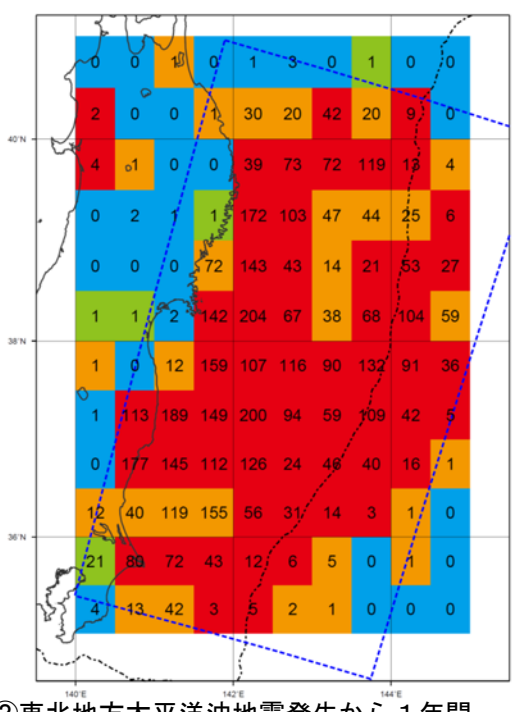
東北地方太平洋沖地震発生前後の地震回数を、0.5°毎に区切った領域で比較した結果を図5に示す。地震活動は全体的に低下し、発生前の2倍未満まで低下したところもあるものの、沿岸に近い領域及び海溝軸付近では、依然、東北地方太平洋沖地震の発生前に比べ活発な状態が続いている。



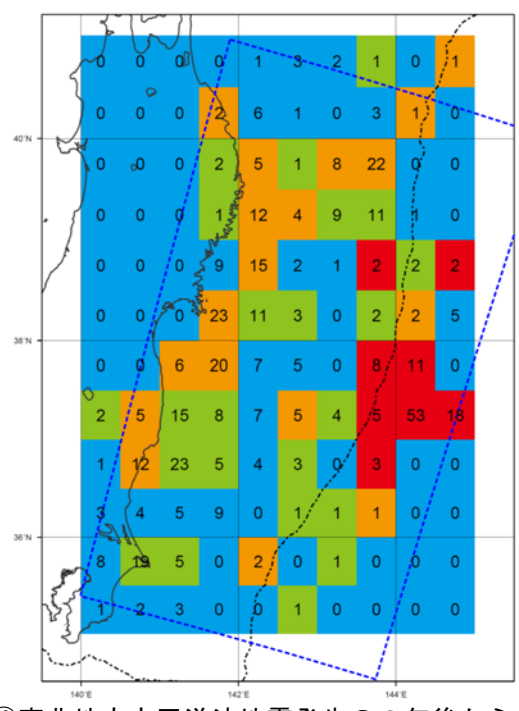
①2001~2010年の年平均地震発生回数



③東北地方太平洋沖地震発生の1年後から1年間 (2012年3月11日14時46分~2013年3月11日14時45分)



②東北地方太平洋沖地震発生から1年間 (2011年3月11日14時46分~2012年3月11日14時45分) 2011年3月13日~5月30日に未処理のデータがある。



④東北地方太平洋沖地震発生の2年後から1年間 (2013年3月11日14時46分~2014年3月5日24時00分)



図 5 東北地方太平洋沖地震発生前と発生後の各 1 年の地震回数比 (M≥4.0) ② - ④ の格子内の色は各期間の地震回数の比、数は地震回数を示す。 各図内の点線は東北地方太平洋沖地震の余震域を示す。

### ※地震発生数比

東北地方太平洋沖地震発生前の 10 年間 (2001 年~2010 年) の年平均地震発生回数) に対する、各期間の年地震発生回数の比。2001 年~2010 年に M4.0 以上の地震が発生していない領域については、0.1回 (/1年) として計算している。

### (6) 発震機構別の余震活動の推移

東北地方太平洋沖地震発生後、1年毎の余震の発生状況と同期間の発震機構(CMT 解)の分布を図 6-1 に、また、同期間に加え、2001 年から 2010 年までの期間を含む、発生場所毎(※)の発震機構(CMT 解)の分布と時空間分布図を図 6-2 に示す。

プレート境界型の地震は、本震発生後は本震時のすべり量の大きかった領域を避けるように分布している。また、本震発生から1年間は、陸のプレート内で正断層型の地震が、陸地に近い領域の太平洋プレート内で逆断層型の地震がそれぞれ増えたが、1年後以降はいずれの活動も低下しているものの継続している。海溝軸付近の太平洋プレート内で正断層型の地震が発生している。

### ※地震の発生場所について

ここでは、発生場所毎の地震を、以下の基準で分類した。

プレート境界型の地震 :逆断層型の地震のうち、断層面の傾斜角が 45°以下で圧力軸の方位がプレートの進行方向と近いもの。 陸のプレート内の地震 :セントロイド (その地震の断層面の中で最もすべり量が大きかった場所) の深さが Naka jima and

ト内の地震 : セントロイト (その地震の断層面の中で最もすべり重か大さかった場所) の深さか Nakajima and Hasegawa(2006) \*1 及び Nakajima et al.(2009)\*2 による太平洋プレート上面の深さより浅いもの。

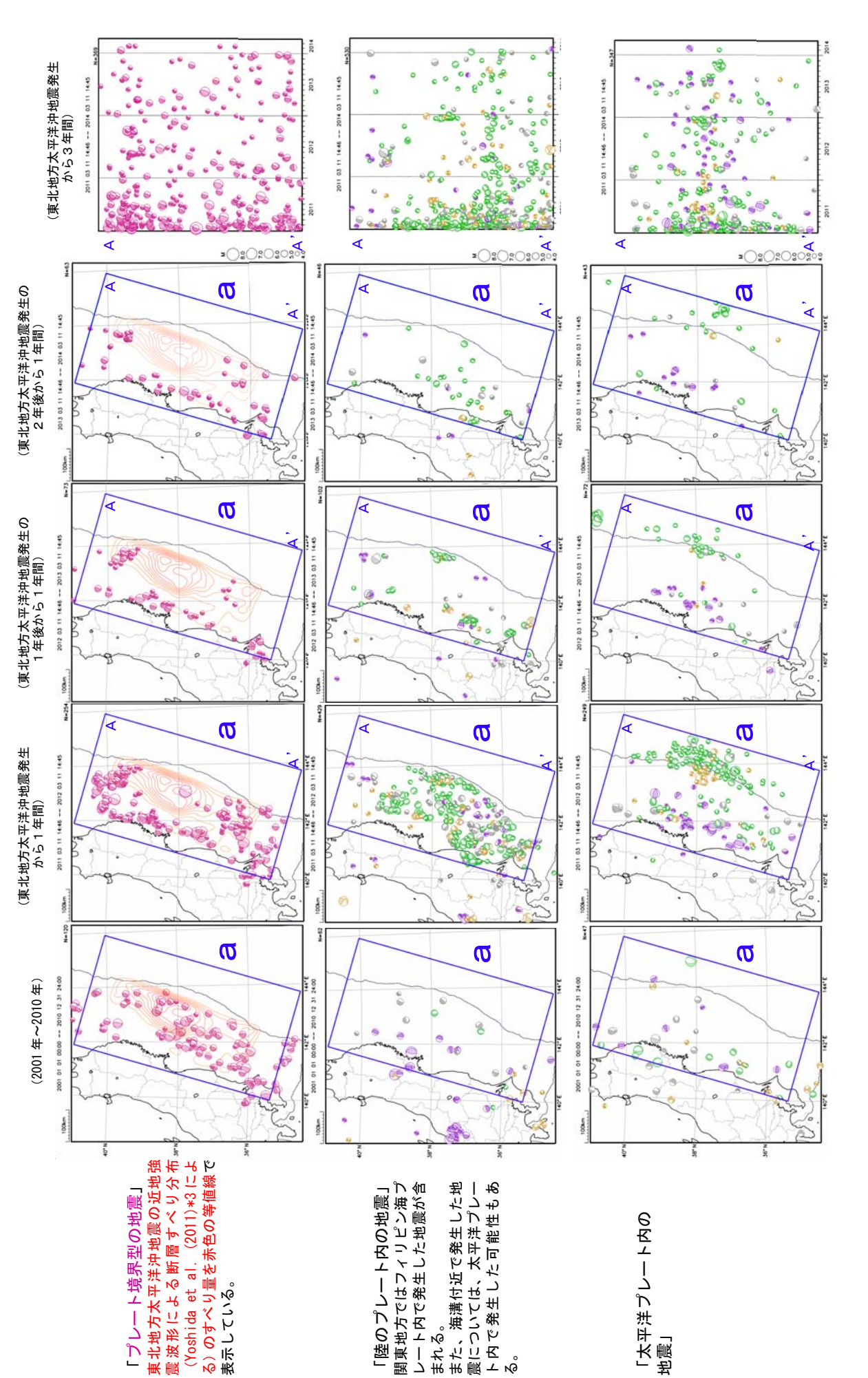
太平洋プレート内の地震:上記太平洋プレート上面の深さより深いもの。

### 東北地方太平洋沖地震発生 東北地方太平洋沖地震発生の 東北地方太平洋沖地震発生の から1年間 1年後から1年間 2年後から1年間 (2011年3月11日14時46分~ (2012年3月11日14時46分~ (2013年3月11日14時46分~ 2012年3月11日14時45分) 2013年3月11日14時45分) 2014年3月5日24時00分) 7.0 6.0 5.0 a a a 2013 03 11 14:46 -- 2014 03 11 14:45 2011 03 11 14:46 -- 2012 03 11 14:45 2012 03 11 14:46 -- 2013 03 11 14:45 0 7.0 a a a

図6-1 東北地方太平洋沖地震発生後1年毎の震央分布図(深さすべて、M≥4.0)(上段)、発震機構(CMT解)の分布図(深さすべて、M≥4.0)(下段)

下段の発震機構の分布図については、逆断層型の地震を紫(「プレート境界型の地震」を特に赤で表示)、正断層型の地震を緑、横ずれ断層型の地震を茶色、その他の地震を灰色で表示、シンボルはセントロイドの位置に表示している。また、東北地方太平洋沖地震の近地強震波形による断層すべり分布 (Yoshida et al. (2011)\*3 による) のすべり量を赤色の等値線で表示している。

- \*1 Nakajima, J., and A. Hasegawa (2006), Anomalous low-velocity zone and linear alignment of seismicity along it in the subducted Pacific slab beneath Kanto, Japan: Reactivation of subducted fracture zone?, Geophys. Res. Lett., 33, L16309, doi: 10.1029/2006GL026773.
- \*2 Nakajima, J., F. Hirose, and A. Hasegawa (2009), Seismotectonics beneath the Tokyo metropolitan area, Japan: Effect of slab-slab contact and overlap on seismicity, J. Geophys. Res., 114, B08309, doi:10.1029/2008JB006101.
- \*3 Yoshida, Y., H. Ueno, D. Muto, and S. Aoki (2011), Source process of the 2011 off the Pacific coast of Tohoku Earthquake with the combination of teleseismic and strong motion data, Earth Planets Space, 63, 565-569.



まれる。

表示している。

図6-2 発生場所毎の発震機構(OMT 解)の分布図(左:2001 年~2010 年、中:本震発生から1年間、右:1年後から1年間、深さすべて、M≥4.0)と領域a内の時空間分布図 逆断層型の地震を紫(「プレート境界型の地震」を特に赤で表示)、正断層型の地震を緑、<mark>横ずれ断層型の地震を茶色</mark>、その他の地震を灰色で表示した。シンボルはセントロイドの位置に表示している。

### (7) 同じ領域での過去の地震活動との比較

余震域(図1-1の領域 a)の範囲について、複数の期間に区切って 1923 年以降の震央分布図を図7-1に示す。図7-1の領域 a 内の時空間分布図、M-T図と回数積算図及び月別地震回数を図7-2に示す。1923 年以降、東北地方太平洋沖地震前まで、東北地方では1 か月間に M5.0 以上の地震が 10 回以上発生するような地震活動がいくつも見られている。しかし、東北地方太平洋沖地震は、これまでにない広い範囲で地震活動が活発化し、また、地震回数が多い期間がこれまでになく長く続いている。

図7-1 (下)震央分布図 (1923年~2014年3月5日、深さすべて、M≥5.0)

M7.5以上の地震に吹き出しをつけた。発震機構は「平成6年(1994年)三陸はるか沖地震」以降はCMT解、それ以前は初動解。領域 a の範囲は図1-1と同じ。東北地方太平洋沖地震の近地強震波形による断層すべり分布(Yoshida et al. (2011)\*3による)のすべり量を赤色の等値線で表示している。

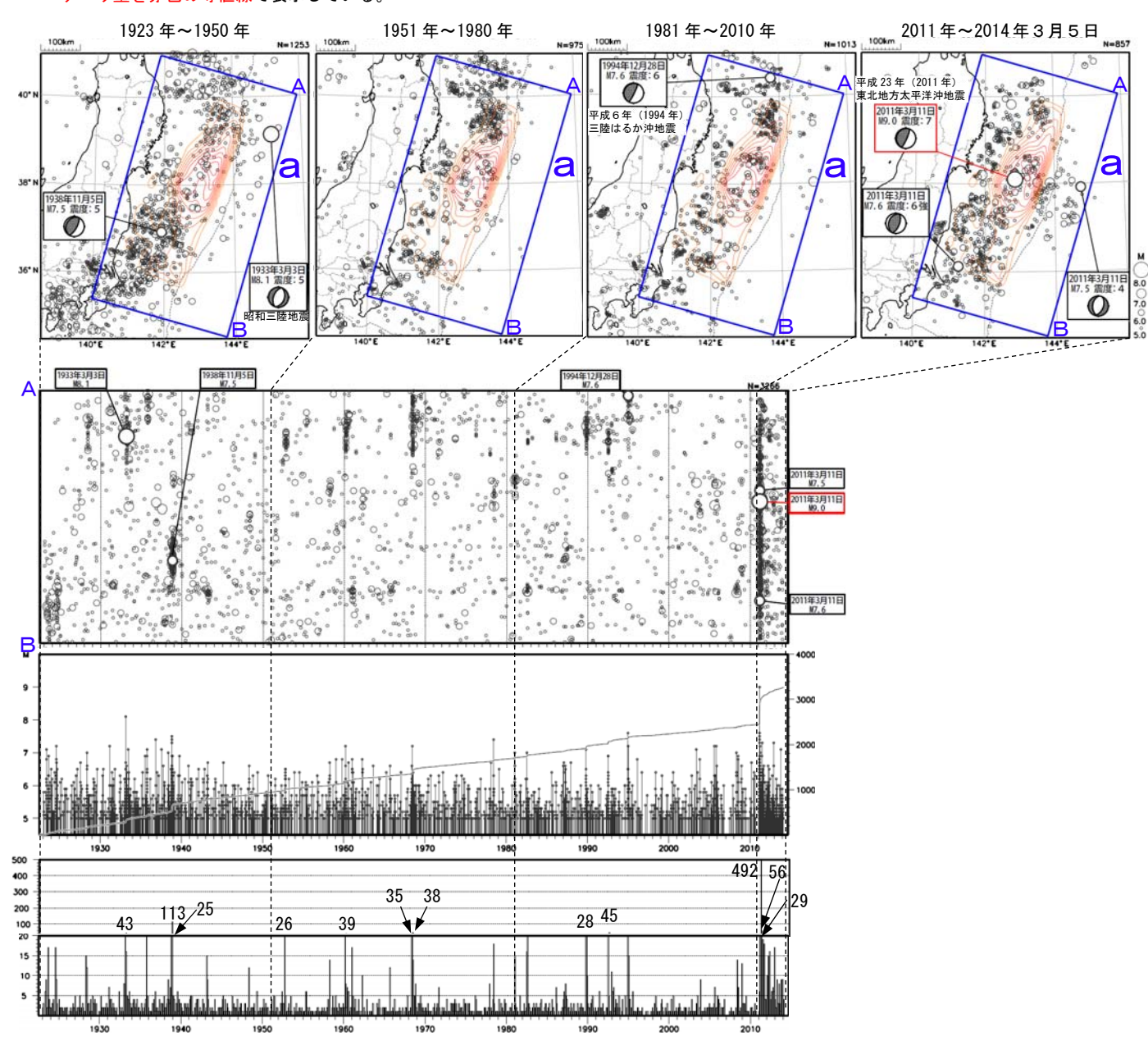


図7-2 図7-1領域 a 内の時空間分布図、M-T図と回数積算図及び月別地震回数

上段:時空間分布図(A-B投影 M7.5以上の地震に吹き出しをつけた。)

中段:M-T図と回数積算図

下段:月別地震回数

20回以上はスケールを変えて表示している。50回を超えているのは 1938 年 11 月 (113回) と 2011 年 3 月 (492回)、同年 4 月 (56回)である。

### (8) 日本及び世界の海域で発生した主な地震との余震活動の比較

日本の海域で発生した主な地震の余震回数と東北地方太平洋沖地震の余震回数を比較したものを図8-1に示す。これらのM8クラスの地震と比べ、東北地方太平洋沖地震は余震活動が非常に活発である。

図8-2は2004年12月に発生したインドネシア、スマトラ北部西方沖の地震(Mw9.1)、2010年2月に発生したチリ中部沿岸の地震(Mw8.8)、そして東北地方太平洋沖地震の、それぞれ本震発生前後の積算回数を比較したものである。これらM9クラスの地震の余震活動と比べても、東北地方太平洋沖地震の余震活動は活発である。

なお、インドネシア、スマトラ北部西方沖の地震の余震域では、2012 年 4 月にも Mw8.6 の地震が発生するなど、本震発生から 9 年を過ぎた現在も、本震発生前に比べ依然活発な余震活動が継続している(図 8 -2、図 8 -3)。

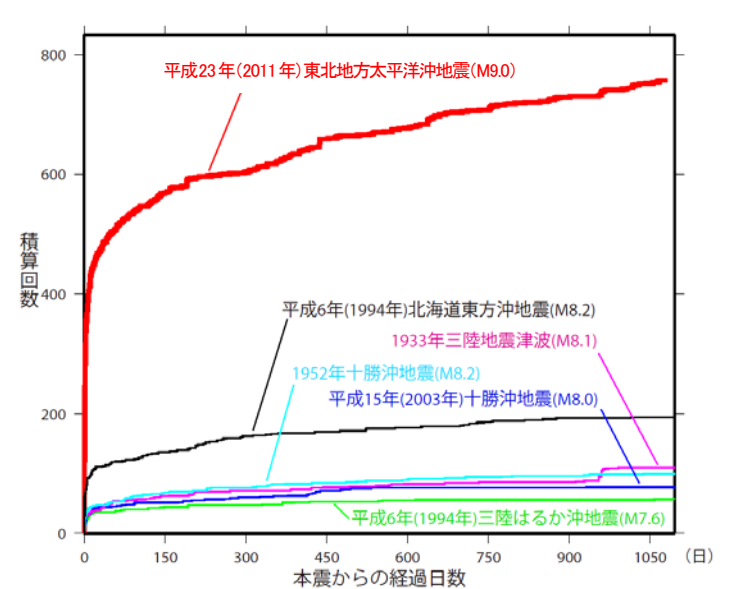


図8-1 日本の海域で発生した主な地震の余震回数比較 (それぞれ本震発生から1096日後まで、本震を含む、M≥5.0)

東北地方太平洋沖地震のみ 1090 日後の 2014 年 3 月 5 日まで。2011 年 3 月 13 日~5 月 30 日に未処理のデータがある。

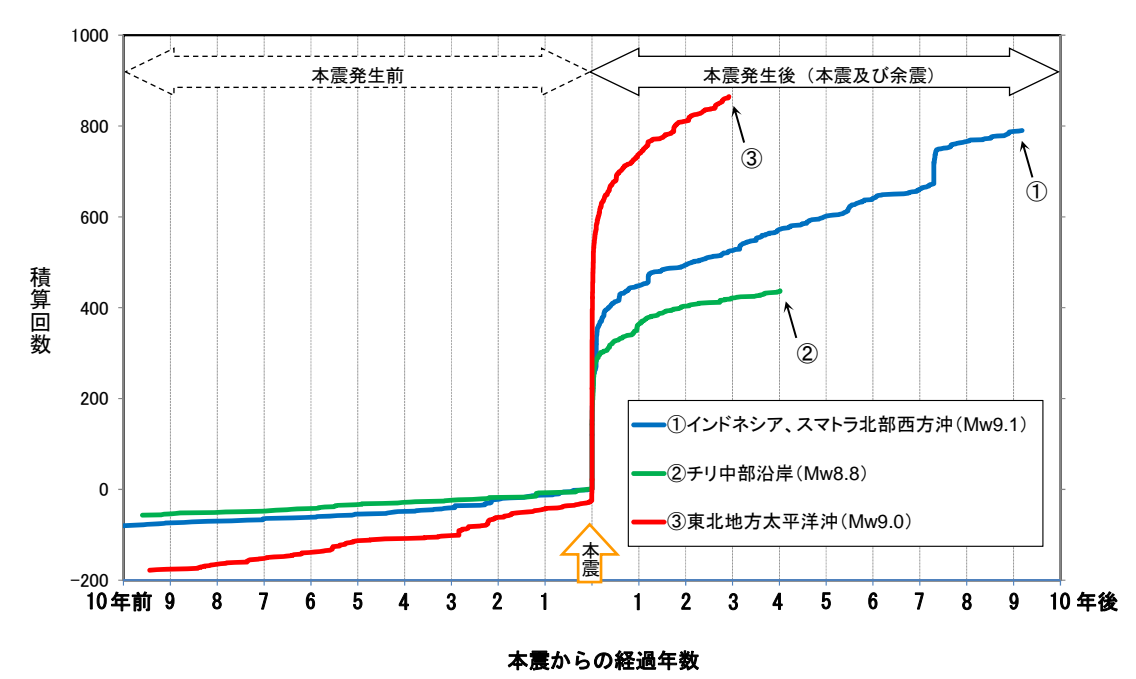


図8-2 世界の海域で発生した主な地震の本震発生前後の地震回数比較 (それぞれ本震発生の10年前から2014年3月5日まで、M≥5.0)

震源要素は米国地質調査所(USGS)による。①インドネシア、スマトラ北部西方沖の地震は図8-3の、②チリ中部沿岸の地震は図8-4の、③東北地方太平洋沖地震の地震は図8-5の、それぞれ領域a内で発生した地震回数を示す。それぞれの地震の本震が経過日数0日、積算回数1回になるよう表示した。

気象庁作成

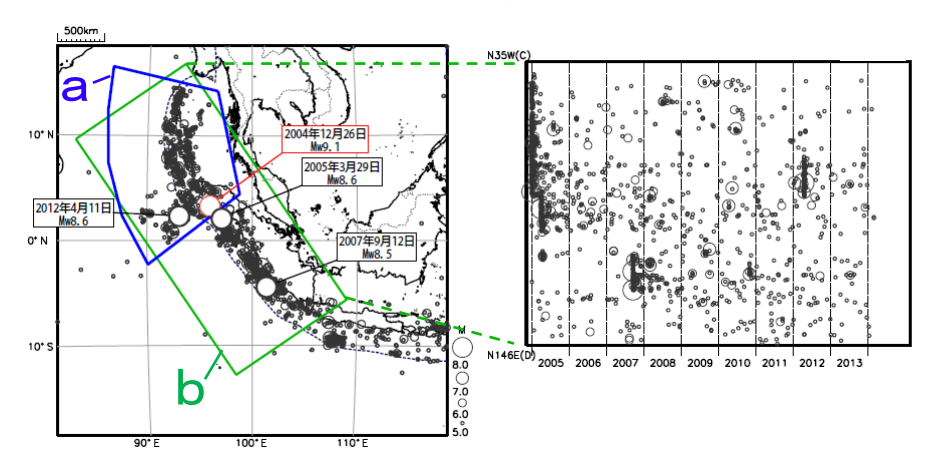


図8-3 2004年12月26日インドネシア、スマトラ北部西方沖の地震(Mw9.1)の発生以降

- (左) 震央分布図 (2004年12月26日~2014年3月5日、深さすべて、M≥5.0)、
- (右) 震央分布図中の領域 b 内の時空間分布図 (矩形の長辺に投影)

震源要素は米国地質調査所(USGS)による。領域 a は 2004 年の Mw9.1 の地震の発生後すぐに活発な地震活動が発生していた領域を海溝の東側まで広げた範囲。領域 b 内の Mw8.5 以上の地震に吹き出しを付けた。

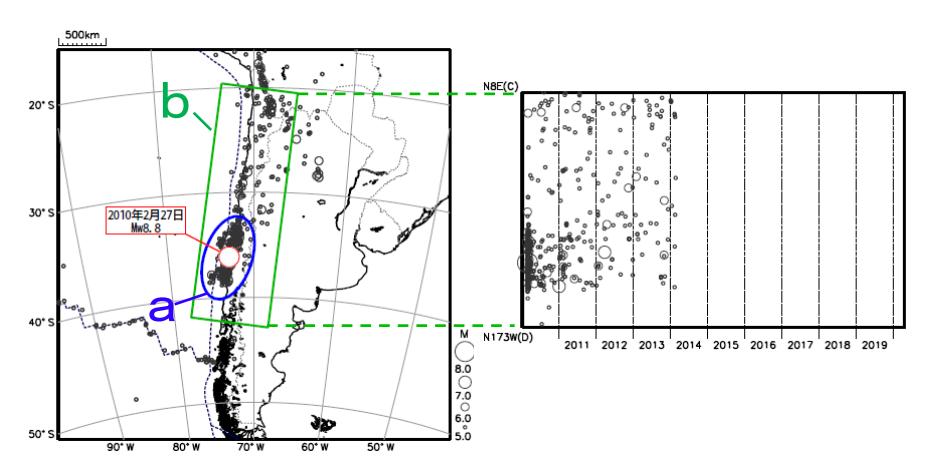


図8-4 2010年2月27日チリ中部沿岸の地震(Mw8.8)の発生以降

- (左) 震央分布図 (2010年2月27日~2014年3月5日、深さすべて、M≥5.0)、
- (右) 震央分布図中の領域 b 内の時空間分布図 (矩形の長辺に投影)

震源要素は米国地質調査所(USGS)による。

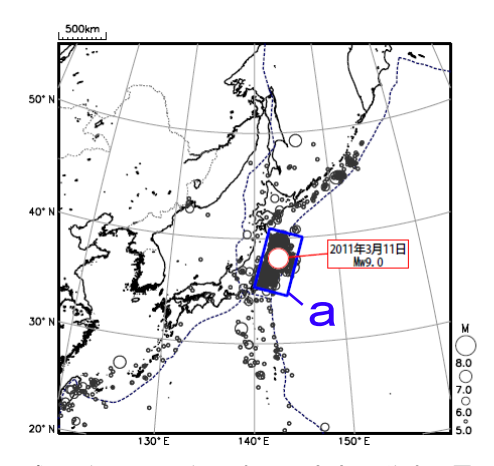


図8-5 「平成23年(2011年)東北地方太平洋沖地震」(Mw9.0)の発生以降 震央分布図(2011年3月11日~2014年3月5日、深さすべて、M≥5.0) 震源要素は気象庁による。領域aの範囲は図1-1と同じ。2011年3月13日~5月30日に未処理のデータがある。

※図8-3、8-4、8-5はすべて同じ縮尺の等積方位図法で描いている。また、プレート境界の位置はBird(2003)\*3による。

\*3 Bird, P. (2003) An updated digital model of plate boundaries, Geochemistry Geophysics Geosystems, 4(3), 1027, doi:10.1029/2001GC000252.

### (9) 余震域外の地震活動

東北地方太平洋沖地震の発生後、余震域(領域 a )の外(領域 b 、c )でもいくつかの地域で地震活動の活発化が見られたが、既に活動は低下しており目立った活動は見られない。

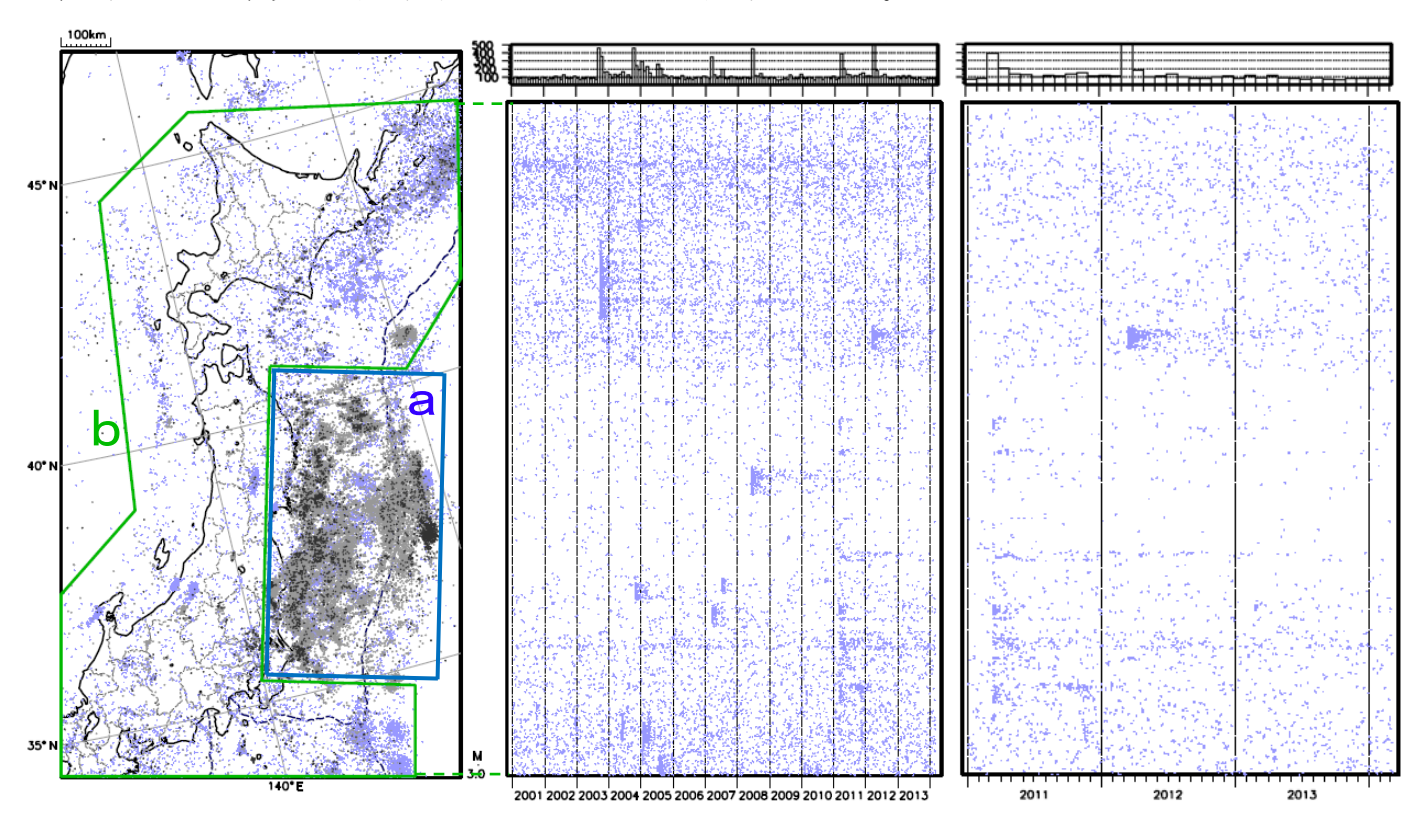


図9-1 (左) 震央分布図(2001年1月1日~2014年3月5日、深さすべて、M≥3.0)、(中、右) 震央分布図の領域 b 内の時空間分布図(震央分布図の上下方向に投影) と月別地震回数ヒストグラム 震央分布図では東北地方太平洋沖地震より前に発生した地震を+、東北地方太平洋沖地震から2年以内に発生した地震を薄い○、2年後以降に発生した地震を濃い○で表示している。時空間分布図・回数ヒストグラムの右側は2011年以降を拡大したもの。

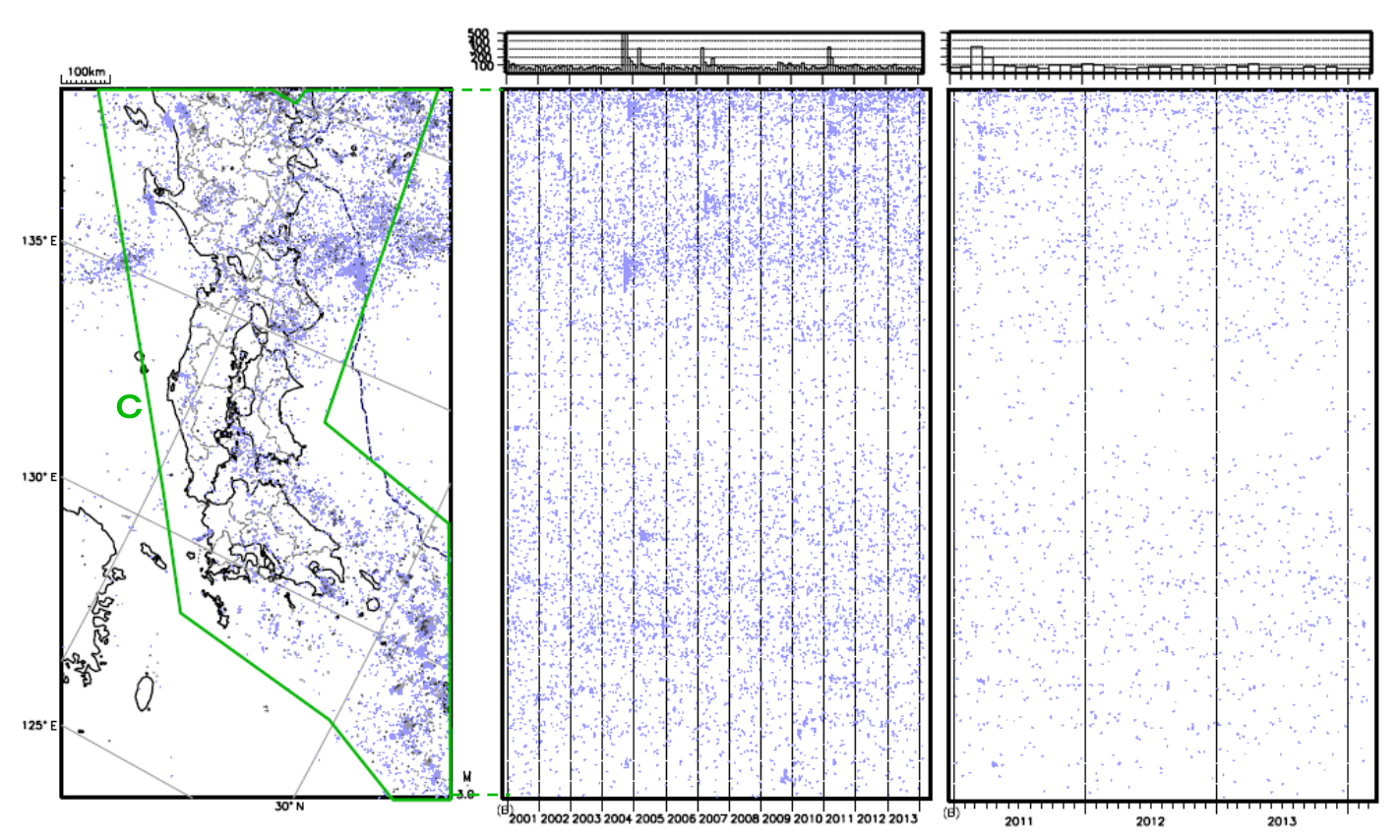
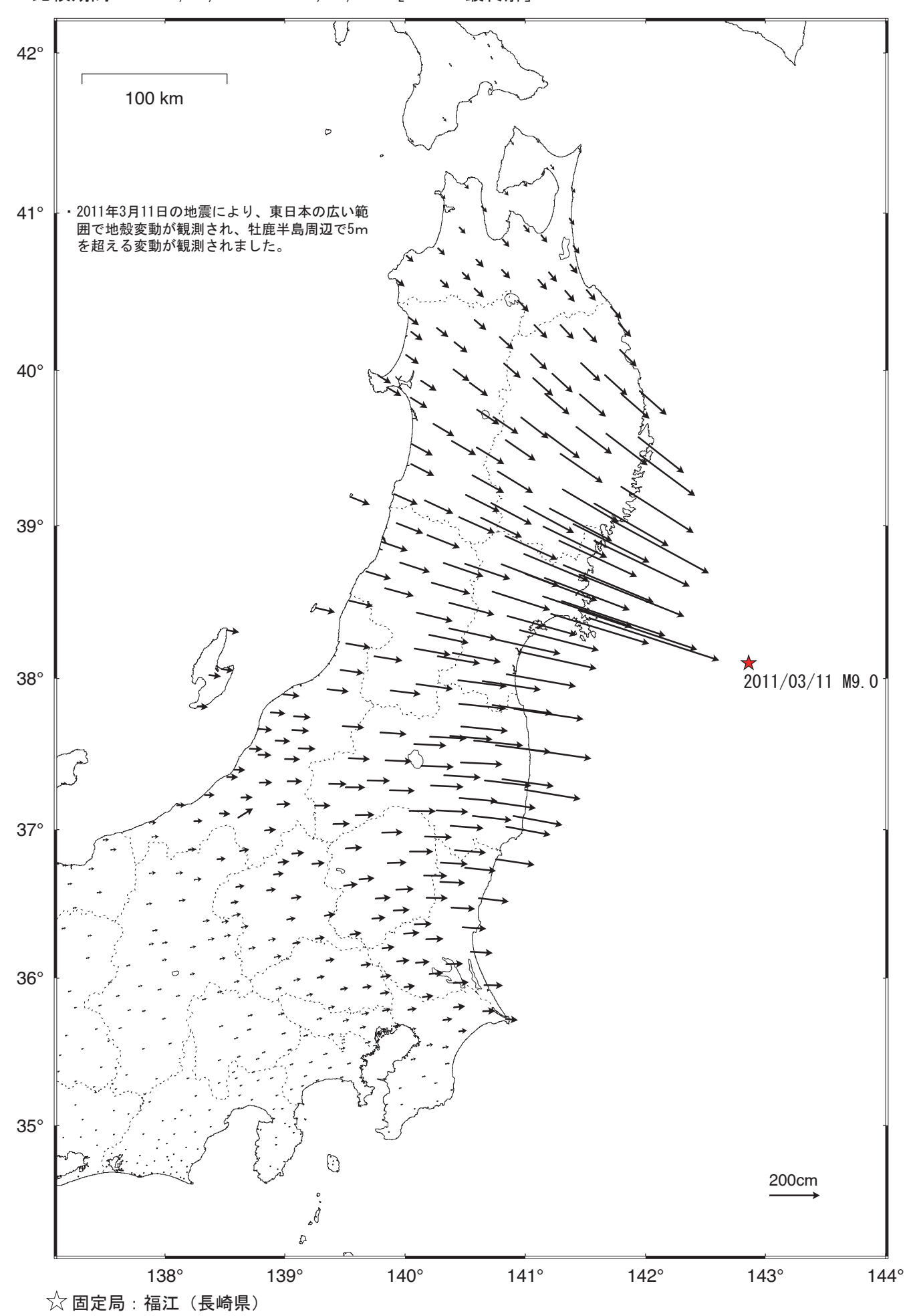


図9-2 (左) 震央分布図(2001年1月1日~2014年3月5日、深さすべて、M≥3.0)、(中、右) 震央分布図の領域 c 内の時空間分布図(震央分布図の上下方向に投影) シンボルの色と形は図9-1と同じ。

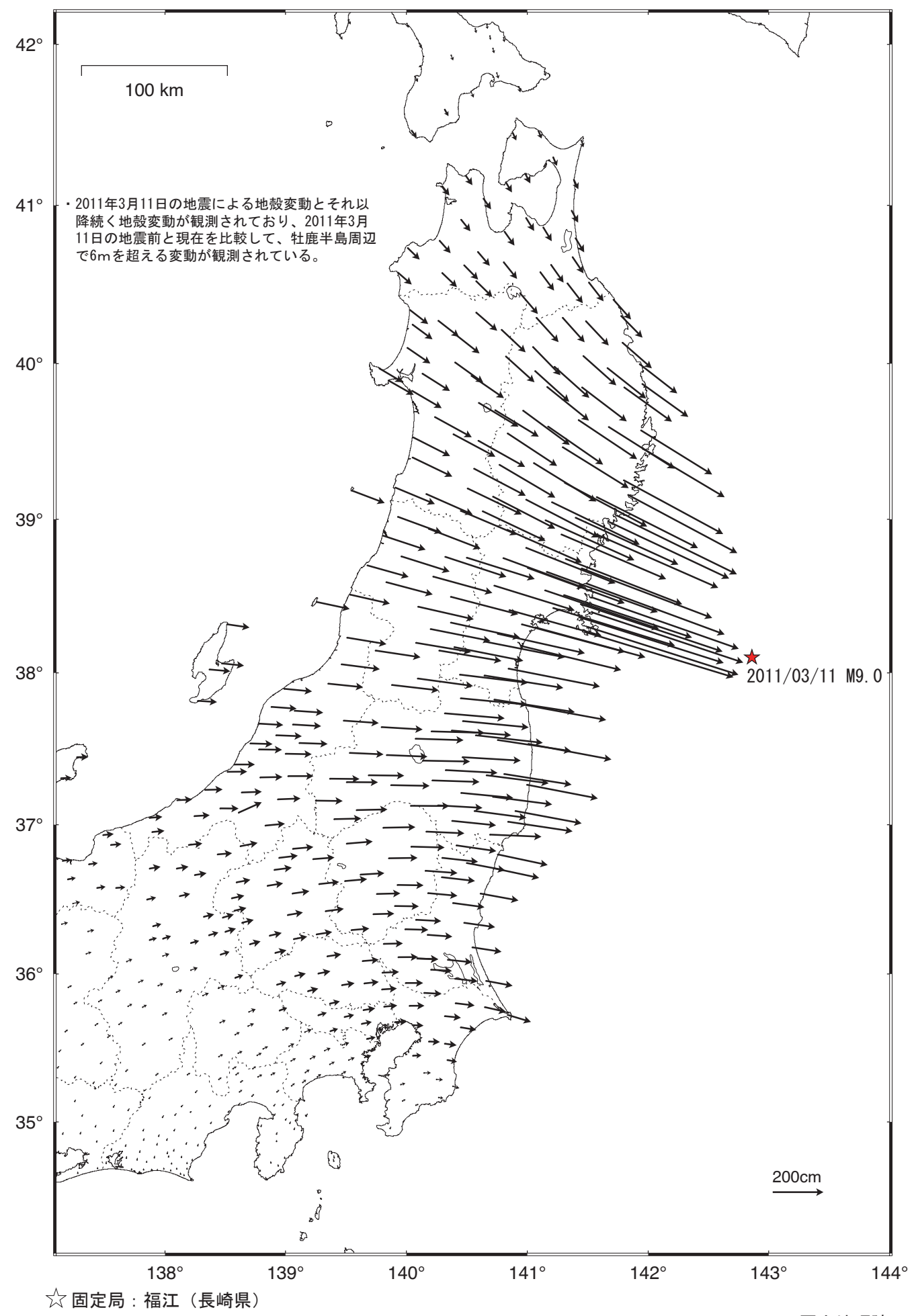
### 東北地方太平洋沖地震(M9.0)前後の地殻変動(水平)一本震前後一

基準期間: 2011/03/10 -- 2011/03/10 [F3:最終解] 比較期間: 2011/03/12 -- 2011/03/12 [F3:最終解]



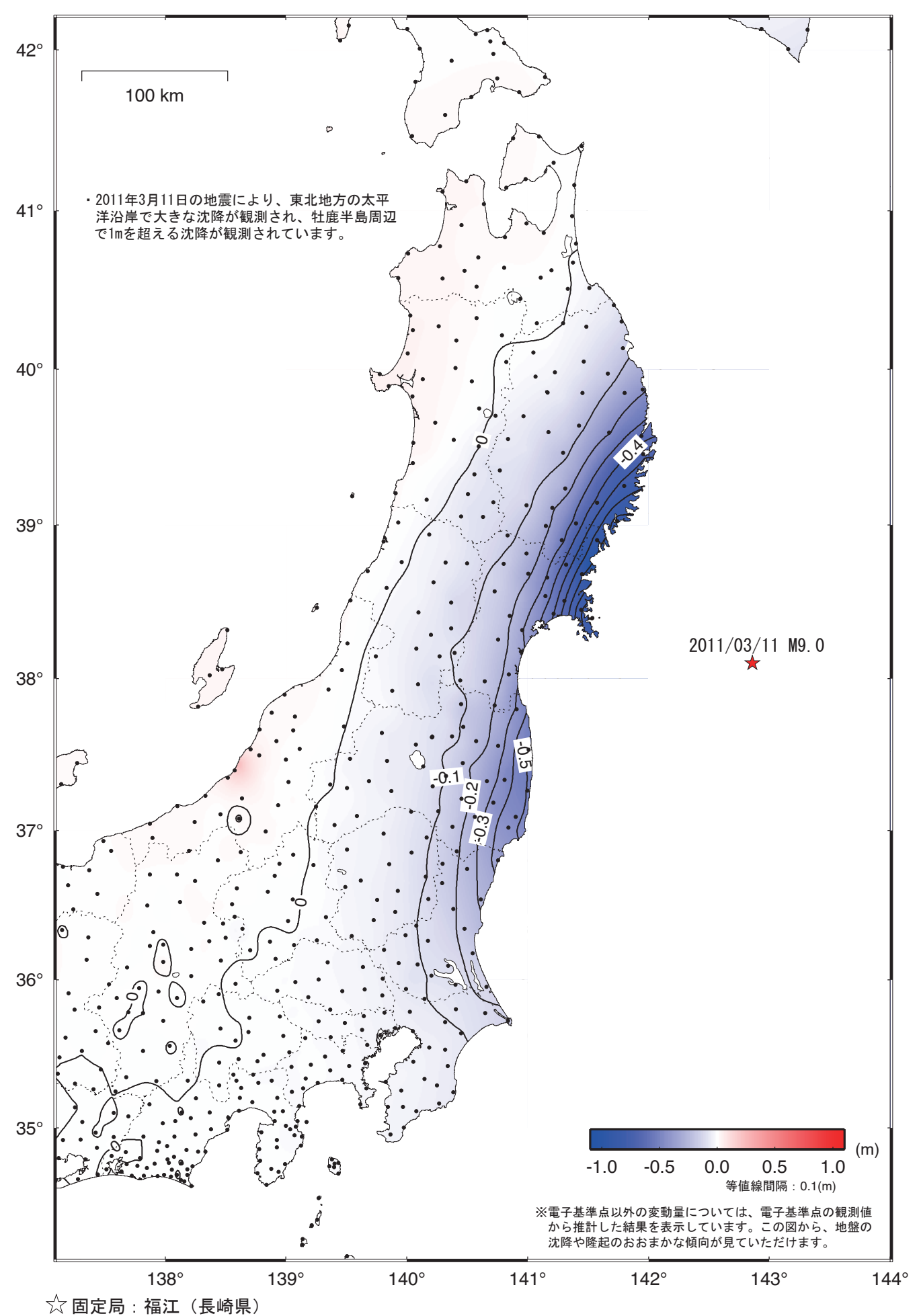
### 東北地方太平洋沖地震(M9.0)前後の地殻変動(水平)一本震前から3年間の累積一

基準期間: 2011/02/01 -- 2011/02/15 [F3:最終解] 比較期間: 2014/02/01 -- 2014/02/15 [F3:最終解]



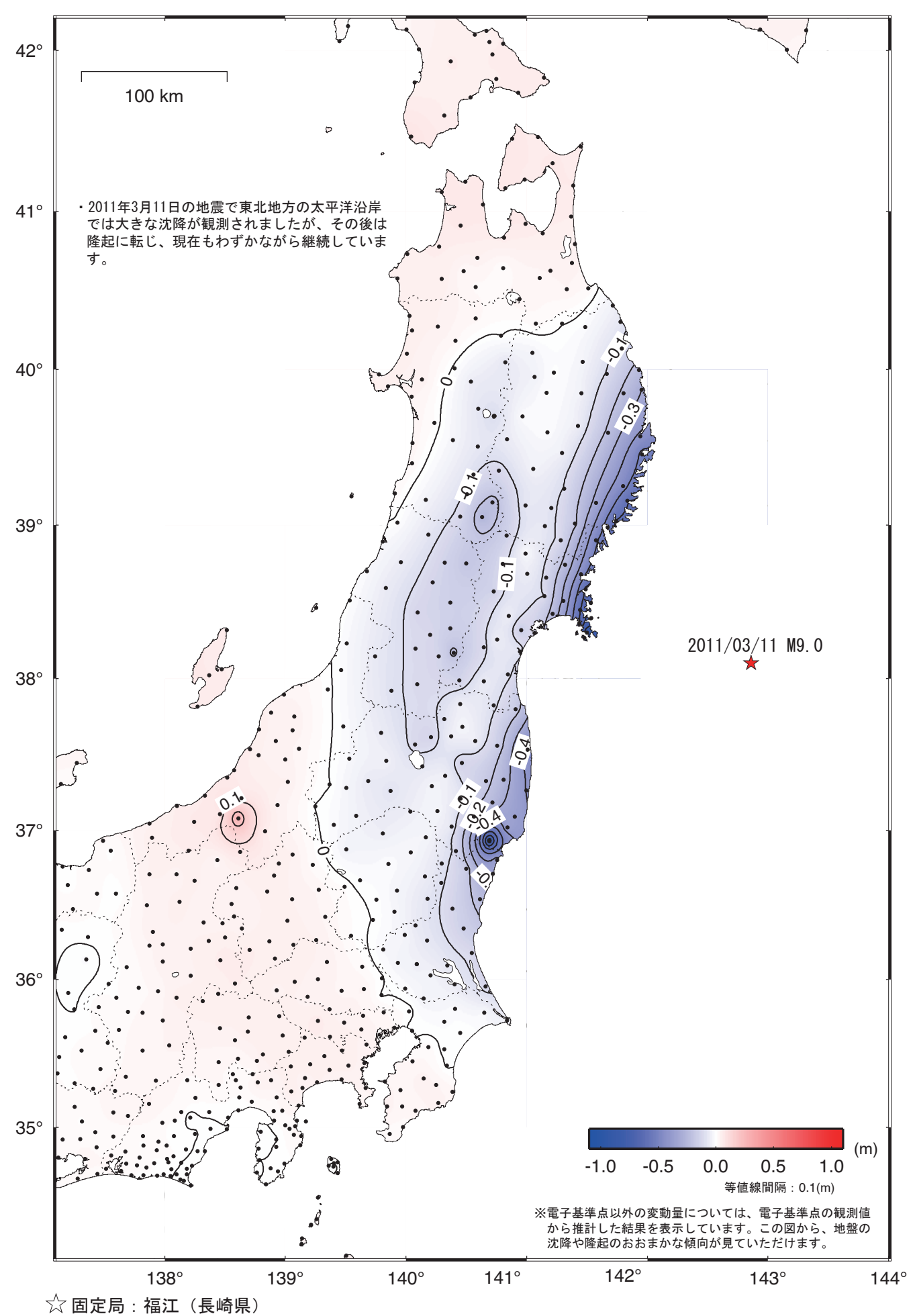
### 東北地方太平洋沖地震(M9.0)前後の地殻変動(上下)一本震前後一

基準期間: 2011/03/10 -- 2011/03/10 [F3:最終解] 比較期間: 2011/03/12 -- 2011/03/12 [F3:最終解]



### 東北地方太平洋沖地震(M9.0)前後の地殻変動(上下)一本震前からの3年間の動き一

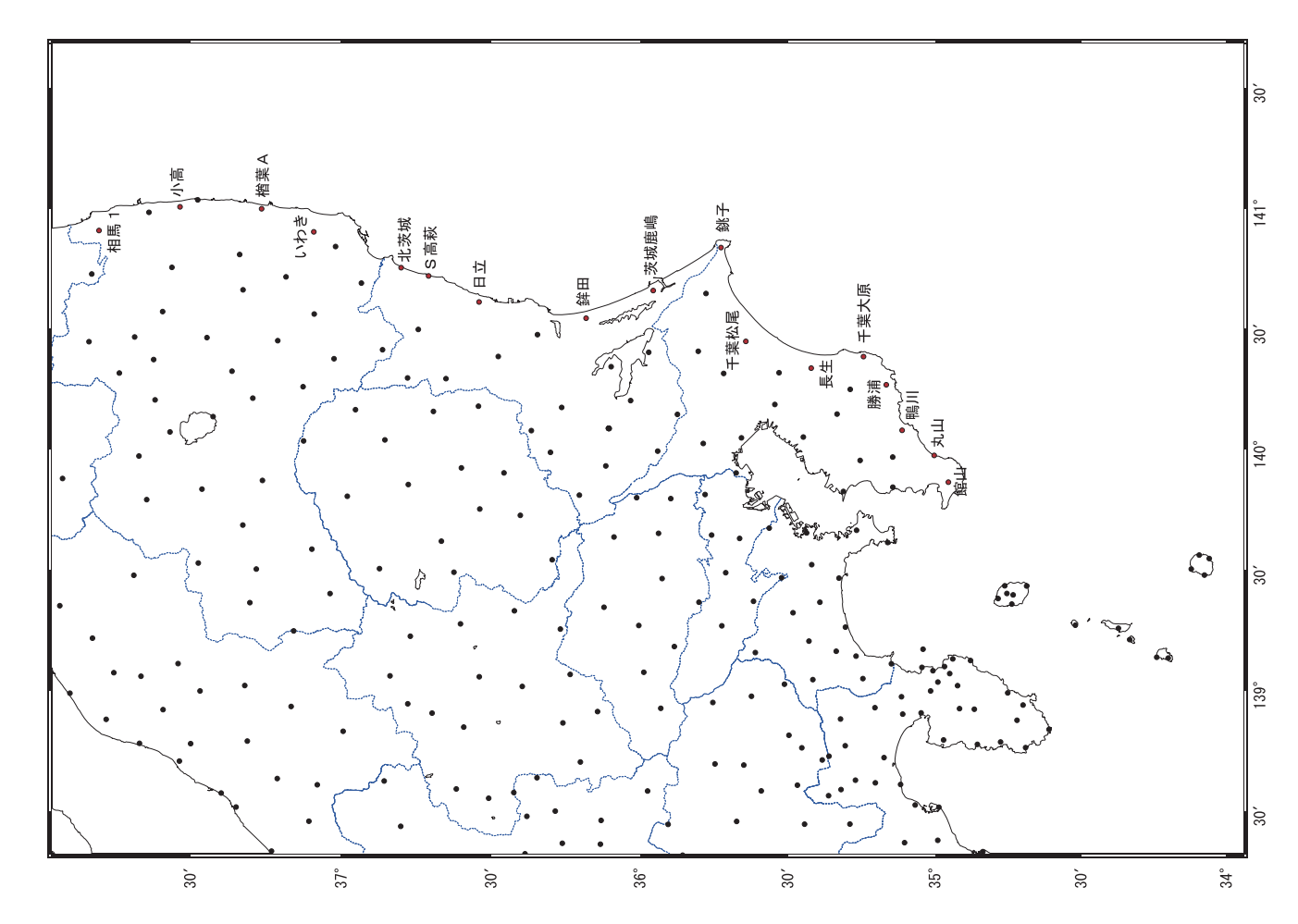
基準期間: 2011/02/01 -- 2011/02/15 [F3:最終解] 比較期間: 2014/02/01 -- 2014/02/15 [F3:最終解]

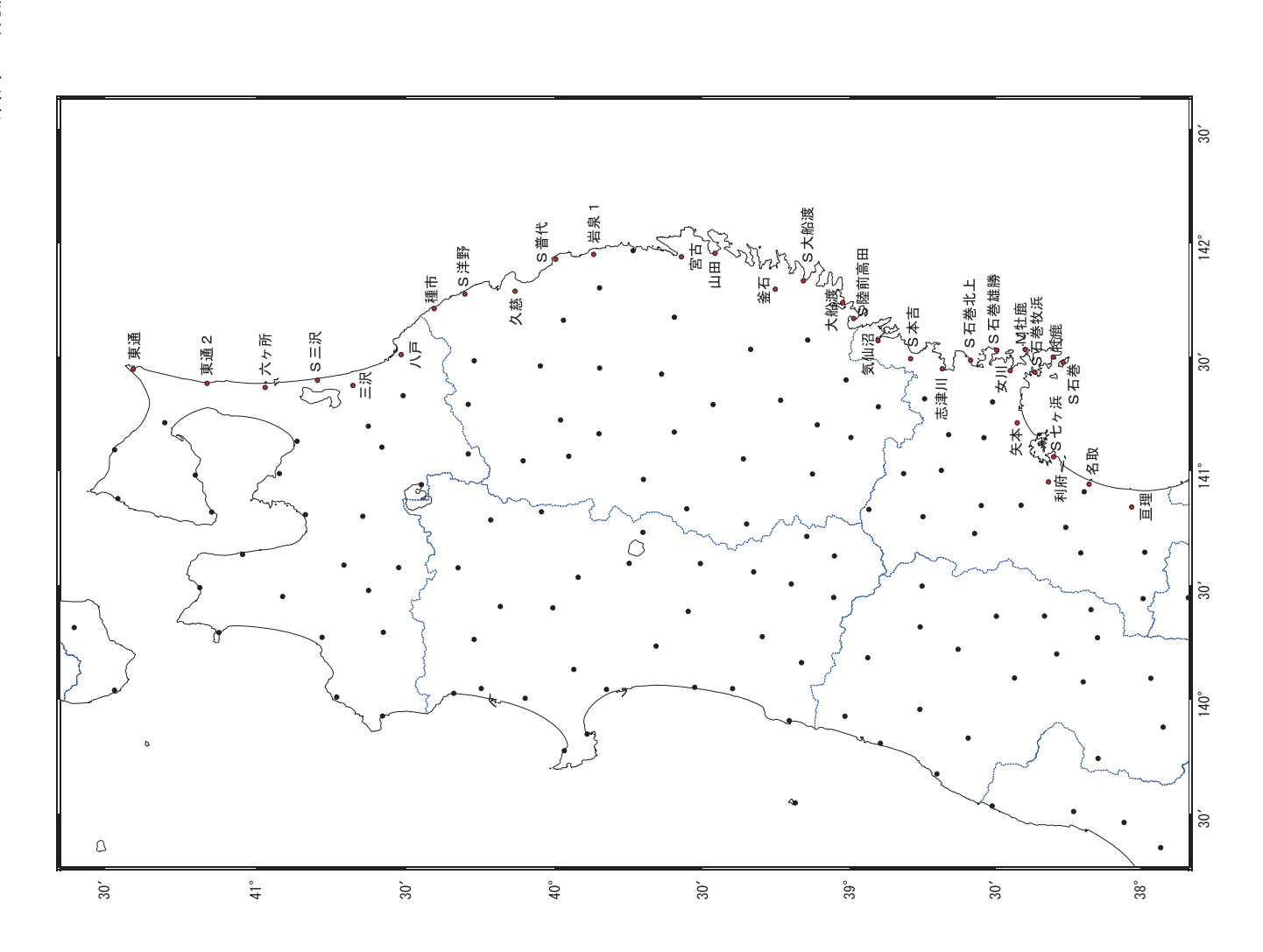


### 沿岸の観測局の変動量の一覧

		水平変動	動量[cm]	高さの変	動量[cm]
観測局名	所在地	本震前後(※1)	本震前から3年間の累積(※2)	本震前後(※1)	本震前から3年間の累積(※2)
東通	青森県下北郡東通村大字尻屋	20	29	0	6
東通2	青森県下北郡東通村大字白糠	27	42	1	6
六ヶ所	青森県上北郡六ヶ所村大字尾駮	34	53	1	5
S三沢	青森県三沢市織笠	41	66	0	4
三沢	青森県三沢市東町	47	78	0	4
八戸	青森県八戸市小中野	58	95	-1	2
種市	岩手県九戸郡洋野町種市	65	105	-3	-4
S洋野	岩手県九戸郡洋野町中野	74	120	-4	-7
久慈	岩手県久慈市宇部町	95	154	-7	-11
S普代	岩手県下閉伊郡普代村第1地割	(※3)	187	(※3)	-23
岩泉1	岩手県下閉伊郡岩泉町小本	145	224	-18	-30
宮古	岩手県宮古市大字津軽石	230	330	-35	-42
山田	岩手県下閉伊郡山田町織笠	273	376	-49	-53
釜石	岩手県釜石市甲子町	340	445	-54	-46
S大船渡	岩手県大船渡市三陸町吉浜	(※3)	488	(※3)	-60
大船渡	岩手県大船渡市赤崎町	426	527	-75	-61
S陸前高田	岩手県陸前高田市小友町	(※3)	526	(※3)	-54
気仙沼	宮城県気仙沼市笹が陣	420	523	-65	-48
S本吉	宮城県本吉郡本吉町津谷桜子	(※3)	535	(※3)	-47
志津川	宮城県本吉郡南三陸町志津川	449	550	-68	-44
S石巻北上	宮城県石巻市北上町十三浜	(※3)	581	(※3)	-61
S石巻雄勝	宮城県石巻市雄勝町桑浜	(※3)	615	(※3)	-70
女川	宮城県牡鹿郡女川町大字女川浜	496	589	-89	-59
M牡鹿	宮城県石巻市大字寄磯浜	540	628	-107	-76
牡鹿	宮城県石巻市鮎川浜	(※3)	623	(※3)	-88
S石巻	宮城県石巻市長渡浜	(※3)	612	(※3)	-72
S石巻牧浜	宮城県石巻市牧浜	(※3)	594	(※3)	-59
矢本	宮城県東松島市矢本	406	503	-50	-23
利府	宮城県宮城郡利府町利府	323	421	-29	-16
S七ヶ浜	宮城県宮城郡七ヶ浜町吉田浜	(※3)	451	(※3)	-11
名取	宮城県名取市閖上	317	408	-26	-7
亘理	宮城県亘理郡亘理町	280	368	-22	-8
相馬1	福島県相馬市中村	278	360	-30	-16
小高	福島県南相馬市小高区蛯沢	261	334	-55	-47
楢葉A	福島県双葉郡楢葉町下小塙	223	284	<del>-51</del>	-40
いわき	福島県いわき市平四ツ波	199	266	-48 -45	-36
北茨城	茨城県北茨城市磯原町磯原	156	201	-45 (%a)	-36 25
S高萩	茨城県高萩市高浜町	(※3)	184	(※3)	-35
日立	茨城県日立市金沢町	120	152	<del>-31</del>	-23
鉾田	茨城県鉾田市柏熊	88 74	117	<u>-24</u>	-11 -12
茨城鹿嶋	茨城県鹿嶋市平井		107	-27 -15	-13 -4
銚子 工産が足	千葉県銚子市東小川町 千葉県山武市松尾町富士見台	49 33	97 63	−15 −10	
千葉松尾 長生	十葉県山瓜巾松尾町畠工見古  千葉県長生郡長生村本郷	17	40	-10 -7	0
五 千葉大原	十葉県長生和長生村本郷   千葉県いすみ市大原	9	27	- <i>7</i> -6	3
<u>十条人原</u> 勝浦	十条県い9の円人原  十葉県勝浦市荒川	8	19		4
鴨川	工業宗勝州市流川  千葉県鴨川市太尾	7	13	-3	2
丸山	十桌泉鴨川巾太尾  千葉県南房総市白子	5	9	-3 -3	2
館山	工業原用房総中日士  千葉県館山市西長田	5	9	-3 -3	1
「神田	1 米尔斯山川四大田	Ü	ฮ	_ა	

- この変動量は、長崎県の福江観測局を固定局とした場合のものです。
- 表の見方: M牡鹿観測局の高さを例に取ると、東北地方太平洋沖地震の影響で107cm沈降しましたが、2014年2月現在、地震前と比べて76cmの沈降となっていることを示しています。
- (※1)「本震前後」は、2011年3月10日と2011年3月12日を比較したもので、主に本震による変動量を示したものです。(F3解析使用)
- (※2)「本震前から3年間の累積」は、2011年2月と2014年2月を比較したもので、本震とその後の動きによる変動量を示したものです。(F3解析使用)
- (※3) 2011年3月12日に欠測したため。





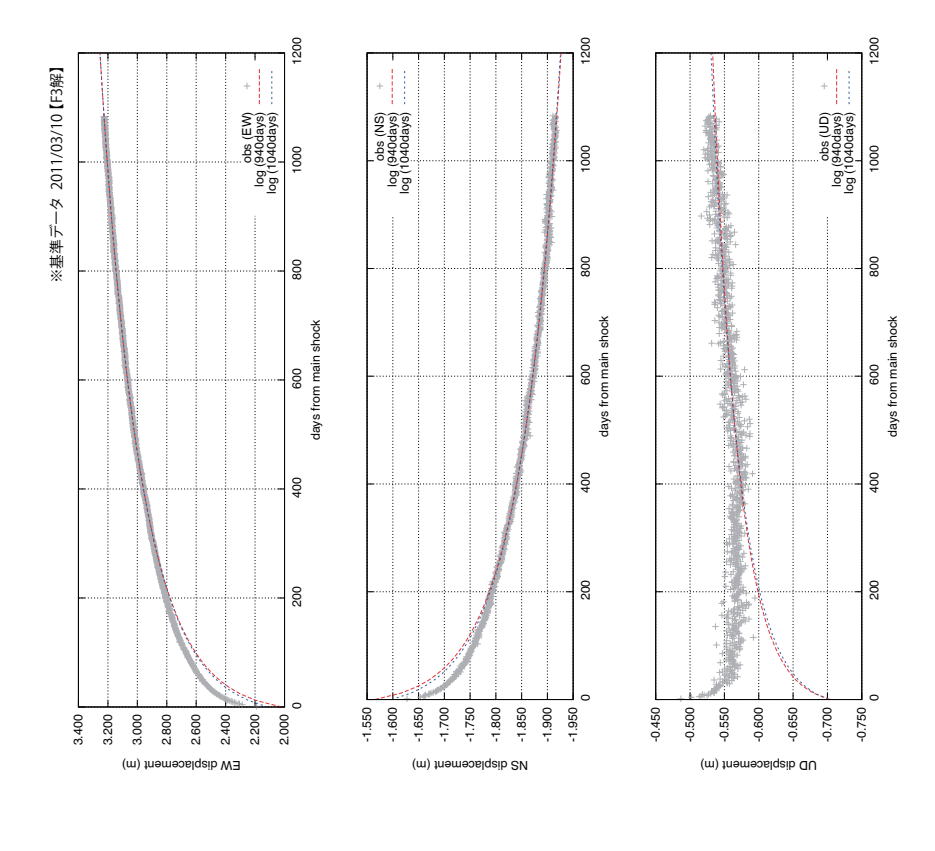
### 国土地理院

42日間予測残差平均(東西/南北/上下) +0.0006/-0.0007/+0.0080 [m]

100日間予測残差平均(東西/南北/上下) -0.0002/-0.0001/+0.0058 [m]

## 東北地方太平洋沖地震後の地殻変動 対数関数近似(1) 地震後366日間のデータを除外して推定

### 表示期間 2011/03/12~2014/02/26 [F3 解/R3 解] 福江 (950462) — 山田 (950167)



豐	42 日間	<u>F</u>	100日間予測残差平均(東西/南北/上下)	差平均 (東	日間予測残	100
7	上下 十		-0.7038	13.46	上下 +0.0380 13.46	Ή
Y	南北	1.08	13.46 -1.5651 1.08	13.46	-0.0803	重
+	東西		+2.0202	13.46	東西 +0.2740 13.46 +2.0202	東西
10	成分	~	a [m] b [day] c [m] $\chi^2$	b [day]		成分
			'b) + c	$disp = a \log(1 + t/b) + c$	disp =	
後	地震後1	:値	いこよる推定	でのデータ	地震後 940 日までのデータによる推定値	地觀

+0.0002/+0.0022/+0.0043 [m]

能定值		*	0	0 1.06	
タによる	/p) + c	c [m]	+2.1150	-1.5980	-0.7007
ドでのデー	$disp = a \log(1 + t/b) + c$	b [day]	19.97	19.97	19.97
地震後 1040日までのデータによる推定値	disp =	a [m]	+0.2770	-0.0796	+0.0414
岩雕		成分	東西	墨	Ή

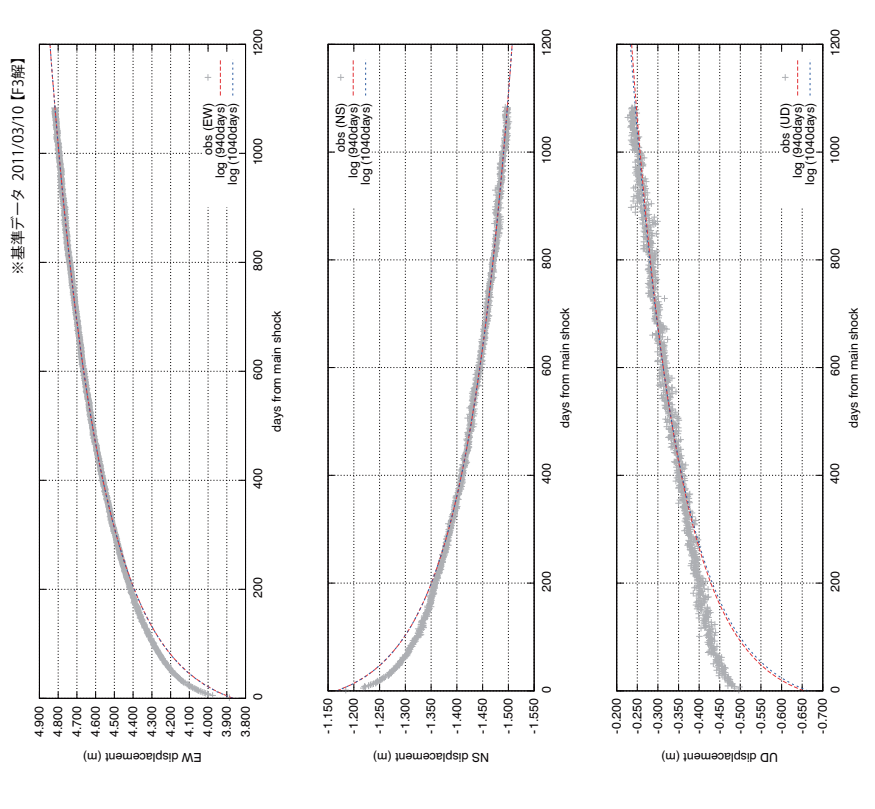
1.06		()	
-1.5980	-0.7007	町/南北/上下	.0051 [m]
19.97	19.97	平均(東	0.0017/+0
-0.0796	+0.0414	42日間予測残差平均(東西/南北/上下)	+0.0004/+0.0017/+0.0051 [m]
117 1187	<u>⊬</u>	42	

国土地理院

# 東北地方太平洋沖地震後の地殻変動 対数関数近似(2) 地震後366日間のデータを除外して推定

## 表示期間 2011/03/12~2014/02/26 [F3 解/R3 解]

_
549
7
(960549)
$\approx$
ŏ
_
14
米米
巜
- 1
_
$\widetilde{2}$
<b>162</b> )
3462)
50462)
950462)
(950462)
(92046
(92046
福江 (950462)



		重		~		1.02	
(2002)	1200	地震後 1040日までのデータによる推定値	/b) + c	c [m]	+3.8687	-1.1672	-0.6644
obs (UD) log (940days) log (1040days)	1000	までのデージ	$disp = a \log(1 + t/b) + c$	a [m] b [day]	33.49	33.49	33.49
	800	後1040日	disp =	a [m]	+0.2704	-0.0943	上下 +0.1196
		shook 苦職		成分	東西	垂	H
	009	days from main shock					
		days					
	400	垣		*		1.04	
	200	による推定	p) + c	c [m]	+3.8669	-1.1671	-0.6533
A A A A A A A A A A A A A A A A A A A		アのデータ	$disp = a \log(1 + t/b) + c$	b [day]	33.26	33.26	33.26
(m) displacement (m) di	0,00	地震後 940 日までのデータによる推定値	disp =	a [m]	+0.2704	-0.0942	上下 +0.1154
<del>-</del>		岩		成分	東西	世	부

### 国土地理院

## 東北地方太平洋沖地震後の地殻変動 対数関数近似(3) 地震後366日間のデータを除外して推定

東北地方太平洋沖地震後の地殻変動 対数関数近似(4)

表示期間 2011/03/12~2014/02/26 [F3 解/R3 解] 地震後366日間のデータを除外して推定

福江 (950462) 一 銚子 (93022)

# 表示期間 2011/03/12~2014/02/26 [F3 解/R3 解]

福江 (950462) - 相馬1 (940038)

※基準データ 2011/03/10 [F3解]

0.950 0.850

0.800 0.750 0.700 0.650 0.600

EW displacement (m)

obs (EW) log (940days) --log (1040days) --

800

600 days from main shock

400

200

0.500

0.050 0.000 -0.050 -0.100

obs (NS) log (940days) --log (1040days)

1000

800

days from main shock

900

400

200

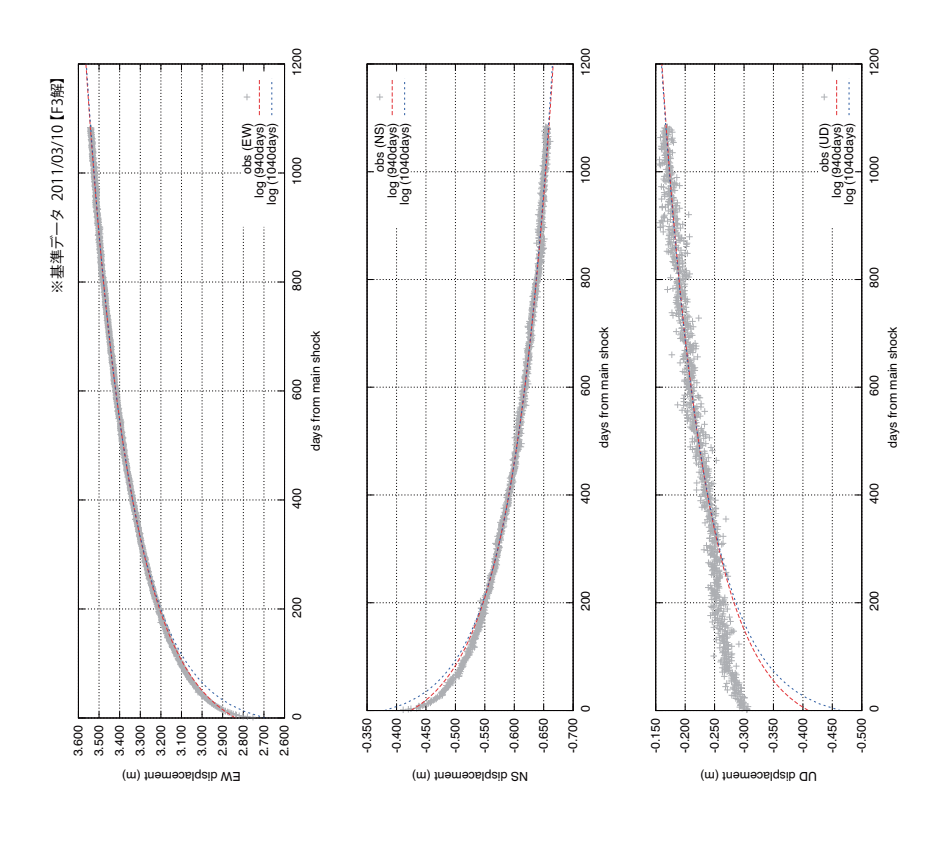
0.000 -0.020 -0.040 -0.060 -0.080 -0.100 -0.120 0.140 0.160

UD displacement (m)

-0.150

NS displacement (m)

-0.200 0.250 0.300



42 日間 -0.0	지 4	P	+0.0/56 46.54 -0.4091 日間予測残差平均 (東西/南北/上 -0.0014/+0.0018/+0.0019 [m]	46.54 提差平均 (東 -0.0018/+1	下 +0.0/56 46.54 -0.4091 100日間予測残差平均 (東西/南北/上下) -0.0014/+0.0018/+0.0019 [m]	10C
FF +0	보기		-0.4091	46.54	上下 +0.0756	H
Ŷ	南北	1.01	-0.4246 1.01	46.54	-0.0735	展
9	東西		+2.8383	46.54	+0.2206	東西
	成分	~×	c [m]	b [day]	成分 a [m] b [day] c [m] $\chi^2$	成分
			t/b) + c	$disp = a \log(1 + t/b) + c$	disp =	
地震後1	柳	定值	タによる推	までのデー	地震後 940 日までのデータによる推定値	地震

定值		*		1.01	
タによる推	/b) + c	c [m]	+2.6951	-0.3799	-0.4636
ドでのデー	$disp = a \log(1 + t/b) + c$	b [day]	20.03	20.03	20.03
地震後 1040日までのデータによる推定値	disp = dsib	a [m]	+0.2109	-0.0693	+0.0739
岩剛		成分	東西	墨	뇐

42 日間予測残差平均 (東西/南北/ -0.0003/+0.0014/+0.0009 [
--------------------------------------------------

国土地理院

## 2.05

1.40

+0.0317 -0.1249

0.36 0.36

上下 +0.0123 南北 -0.0386

0.36

東西 +0.0571

c [m] +0.4654

b [day]

成分 a [m]

2011.0	5/南北/上下
0.5	平均 (東西
10.0	日間予測残差
	7

-0.1182	.西/南北/上下)
0.45	平均 (東
+0.0117	42 日間予測残差平均 (東西/南北/
14	42

/p) + c	c [m]	+0.5185	+0.0053	-0.1182
$disp = a \log(1 + t/b) + c$	b [day]	0.45	0.45	0.45
disp = 3	a [m]	+0.0514	-0.0361	+0.0117
	成分	東西	南北	버

~

地震後 1040日までのデータによる推定値

地震後 940 日までのデータによる推定値

 $disp = a \log(1 + t/b) + c$ 

days from main shock

900

400

200

obs (UD) log (940days) log (1040days)

100日間予測残差平均(東西/南北/上下)	-0.0085/+0.0038/-0.0008 [m]
-----------------------	-----------------------------

7	1 H
-0.1182	/小率//
0.45	平均(审形
+0.0117	47 日間多測残差平均 (
버	42 F

χ 	(東西/南北/
0.45	_
+0.011/	日間予測残差平均
<u>_</u>	42 日

) + C	c [m]	+0.5185	+0.0053	-0.1182
arc = arc g(1 + Ub) + C	b [day]	0.45	0.45	0.45
arr b = a	a [m]	+0.0514	-0.0361	+0.0117
	成分	東西	墨	Ή

-0.1182	西/南北/上
0.45	<sub>差</sub> 平均 (東西,
+0.0117	日間予測残差平均
۷.	42

4	•
3	
187	
- 5	
삥	Ì
<u>#</u>	
177	
47	1
和刊	Ì
*	
<u></u>	,
Ã	9
=	
2	
	12 日間予測残差平均 (東西/南北/上

-0.18	(東西/南北/
0.45	_
+0.0117	. 目間予測残差平均
_ Ц	42 ⊟

-0.1182	西/南北/上
0.45	皇平均 (東西
+0.011/	日間予測残差

-0.1182	(東西/南北/」
0.45	_
+0.0117	日間予測残差平均
_	42

-0.1182	5/ 単小/
0.45	平均 (東西
+0.0117	1間予測残差

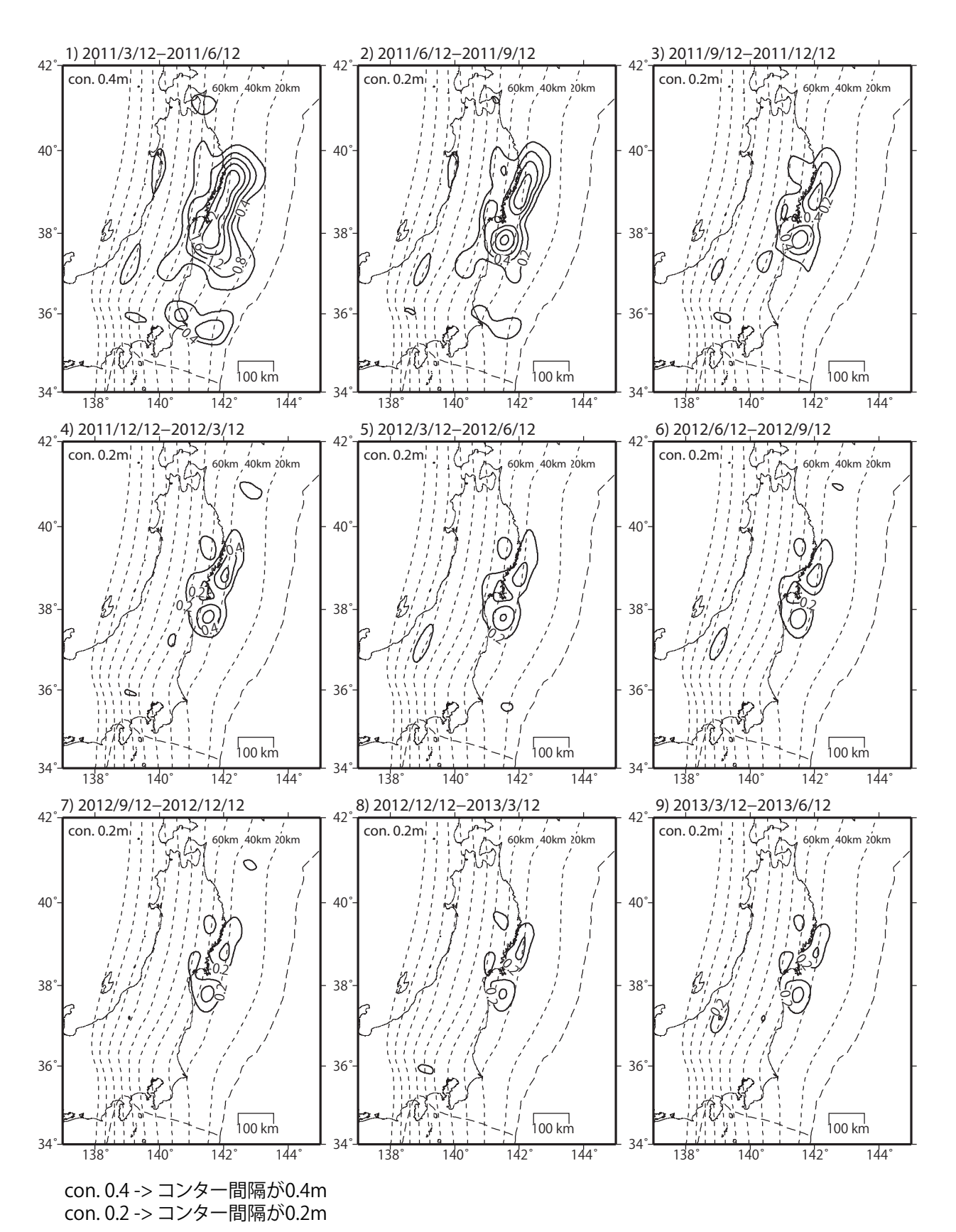
-0.11	5/南北
0.45	9 (東西
0	差平均
-0.0117	予測残
+0	.2 日間
μ.	4

42 日間予測残差平均 (東西/南北/ -0.0048/-0.0017/-0.0001 [r
---------------------------------------------------

_	
C/ F	[L
1/ 南7	0.0001
] (東西	017/-0.
带卡拉	0.001
<b>P測</b> 頻	)48/-
宀	0

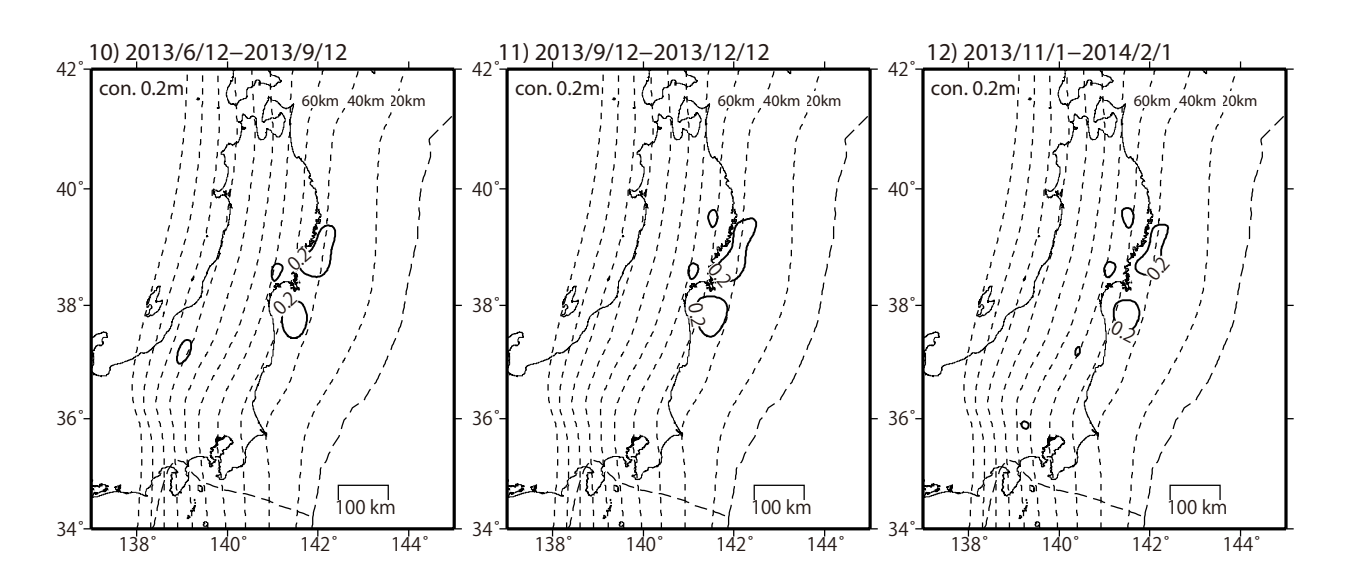
### 平成23年(2011年)東北地方太平洋沖地震後の プレート境界面上の滑りの時間変化(1)(暫定)

### <u>顕著な滑りの移動は見られない.</u>



### 平成23年(2011年)東北地方太平洋沖地震後の プレート境界面上の滑りの時間変化(2)(暫定)

### 顕著な滑りの移動は見られない.



con. 0.2 -> コンター間隔が0.2m

### 平成23年(2011年)東北地方太平洋沖地震後の プレート境界面上の滑りの時間変化(3)(暫定)

